Měsíční zpráva

Počasí, voda a ovzduší v ČR

Říjen 2026

Šimon Kolář (oddělení operativní služby)

Lenka Crhová (oddělení všeobecné klimatologie)

Jan Brzoň (oddělení meteorologie a klimatologie Praha)

Petra Grüsserová (oddělení hydrologických předpovědí)

Anna Lamačová, Radek Vlnas (oddělení podzemních vod)

Hana Škáchová, Lucie Školoudová (informační systém kvality ovzduší)

Český hydrometeorologický ústav

Obsah

ŘÍJEN 2026 na území ČR 3

1 Synoptická situace 4

2 Klimatologické hodnocení 5

2.1 Teplota vzduchu 5
2.2 Srážky 7
2.3 Sluneční svit 9

3 Hydrologická situace 10

3.1 Povrchové vody 10
3.2 Podzemní vody 16

4 Kvalita ovzduší 24

4.1 Rozptylové podmínky 24
4.2 Částice PM_{10} 25
4.3 Částice $PM_{2,5}$ 28
4.4 Ostatní látky 31
4.5 Index kvality ovzduší 33
4.6 Smogový a varovný regulační systém 34

ŘÍJEN 2026 NA ÚZEMÍ ČR

Říjen 2026 na území ČR hodnotíme jako teplotně normální. Průměrná měsíční teplota vzduchu (8,9 °C) byla o 0,7 °C vyšší než normál 1991–2020. V řadě průměrných říjnových teplot od roku 1961 se letošní říjen řadí jako 22. nejteplejší.

Srážkově měsíc říjen hodnotíme jako normální. V průměru na našem území spadlo 39 mm srážek, což představuje 80 % normálu 1991–2020. O něco více srážek během měsíce spadlo na území Čech (40 mm, 82 % normálu) než na území Moravy a Slezska (38 mm, 76 % normálu). Průměrná délka slunečního svitu na území ČR byla tento měsíc 137 hodiny, což činí 130 % normálu 1991–2020.

Začátek měsíce byl poměrně teplý, ve dnech 1. až 8. října se denní maxima teploty vzduchu na našem území často pohybovala nad 20 °C. Po zbytek měsíce průměrná denní teplota vzduchu kolísala kolem hodnot normálu. Nad 20 °C se denní maxima teploty vzduchu ještě dostala na několika stanicích ve dnech 16. a 21. října. Od 19. října (kromě 21. a 22. října) se denní maxima teploty vzduchu na našem území již většinou nedostala nad 15 °C.

Z odtokového hlediska byl červenec dalším podprůměrným až výrazně podprůměrným měsícem v téměř všech hlavních povodích. Průměrné měsíční průtoky se na většině sledovaných toků pohybovaly mezi 8 až 70 % Q_{VII}**.** Nejméně vodné byly toky v povodí Vltavy a Moravy po Dyji, naopak nejvíce vodné byly toky pod přehradami. V průběhu měsíce výrazně přibývalo profilů s indikací hydrologického sucha.

Stav podzemní vody v mělkém oběhu i vydatnost pramenů byla v říjnu mimořádně podnormální, jednalo se opět o celkově nejsušší říjen od roku 1981. Stav hladiny hlubokých vrtů byl opět mimořádně podnormální. Říjen 2026 se tak stal již sedmým měsícem v řadě s vůbec nejhorším stavem (největší zápornou odchylkou od měsíčního normálu) od počátku hodnocené řady, tedy od roku 1991.

V porovnání s 10letým průměrem 2016–2025 byly v říjnu zhoršené rozptylové podmínky.

Za období 2016–2026 byla říjnová hodnota celorepublikových měsíčních průměrů koncentrací PM_{10} v roce 2026 pátá nejnižší, u koncentrací $PM_{2,5}$ se jednalo o druhou nejnižší hodnotu.

Níže uvedené údaje jsou pouze předběžné a mohou se ještě měnit, neboť data nebyla kompletně verifikována. Z důvodů procesu zpracování dat jsou do měsíčních hodnocení zahrnuta pouze neverifikovaná data z automatizovaných stanic.

1 SYNOPTICKÁ SITUACE[1]

V říjnu 2026 převažovala v prostoru Atlantik – Evropa smíšená cirkulace, která dominovala zejména v období druhé a třetí říjnové dekády. V průběhu období první říjnové dekády docházelo k převládající meridionální cirkulaci, kdy do střední Evropy proudil kolem tlakové výše nad východní Evropou teplý vzduch od jihu. V závěru první říjnové dekády přešla od západu studená fronta a za ní se více prosadilo zonální proudění, které pokračovalo až do poloviny druhé říjnové dekády. V období od poloviny října do konce října docházelo k častému střídání smíšené a zonální cirkulace, přičemž zonální cirkulace převládala ve čtyřdenním období kolem poloviny třetí říjnové dekády, kdy přes střední Evropu od západu postoupil okludující frontální systém.

Počasí ve střední Evropě v první říjnové dekádě dominantně ovlivnila tlaková výše nad východní a jihovýchodní Evropou, kolem které k nám pronikal teplý vzduch od jihu, jehož příliv přechodně v polovině dekády přerušila postupující mělká brázda nižšího tlaku vzduchu od západu. V závěru první říjnové dekády došlo k přechodu výrazné studené fronty od západu a k chladnějšímu západnímu zonálnímu proudění.

Druhá říjnová dekáda přinesla od západu nejprve zonální proudění, postupně převážně anticyklonální charakter počasí. Během období se ze západní přes střední Evropu dále k severovýchodu přesouvala tlaková výše, která měla dominantní vliv na počasí ve střední Evropě po většinu druhé a zčásti i třetí říjnové dekády. Jen částečně a krátce počasí ve střední Evropě ovlivnila rozpadající se studená fronta od západu v polovině dekády.

Na začátku třetí říjnové dekády byla střední Evropa pod vlivem tlakové výše nad severovýchodní Evropou. Postupně se z oblasti východního Atlantiku do oblasti Britských ostrovů dostávala řada putujících tlakových níží a s nimi spojené frontální systémy v západním zonálním proudění částečně ovlivnily počasí ve střední Evropě, zejména v polovině třetí říjnové dekády. V závěru období počasí ve střední Evropě přechodně a krátce ovlivnila od severu výšková tlaková níže. Na konci období pak významný vliv měla mohutná tlaková výše v oblasti západního Německa, která přinesla do střední Evropy chladnější vzduch od severu až severovýchodu.

[1] proudění meridionální je proudění ve směru podél poledníků, tj. od severu k jihu nebo naopak
proudění zonální je proudění vzduchu podél rovnoběžek ve směru západ-východ
proudění vzduchu podél rovnoběžek ve směru východ-západ se většinou označuje jako východní (negativní) zonální proudění
http://slovnik.cmes.cz

2 KLIMATOLOGICKÉ HODNOCENÍ

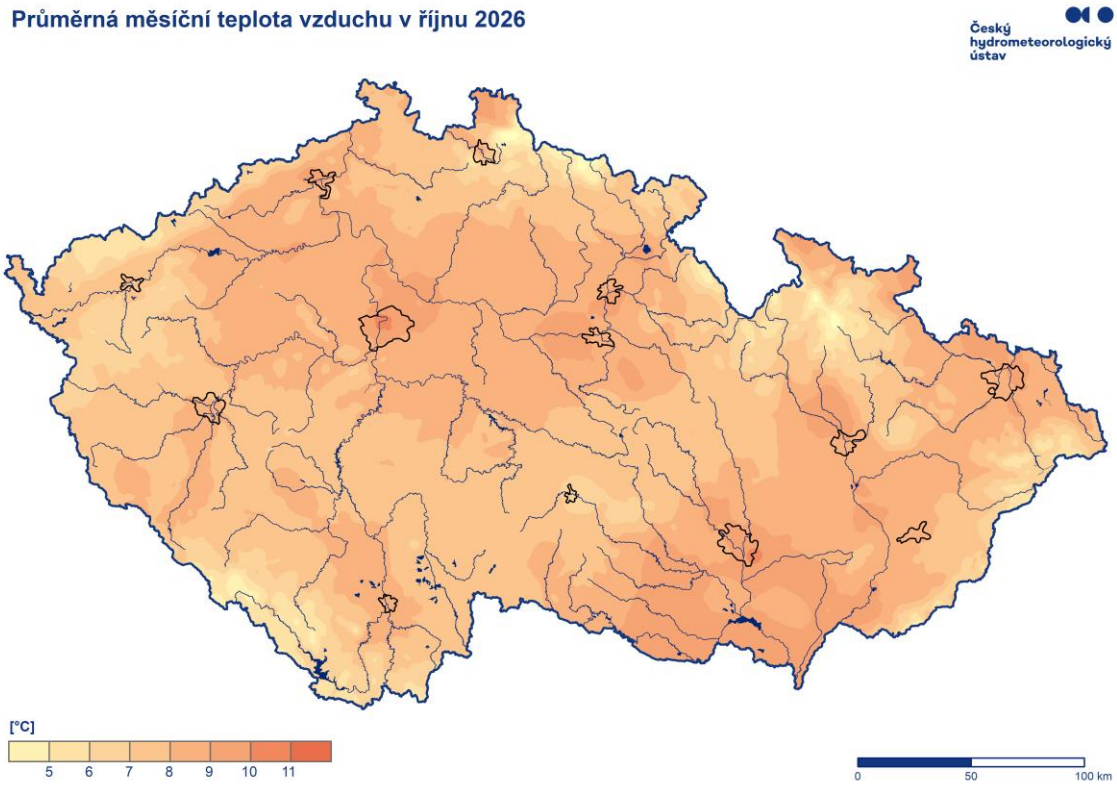
2.1 Teplota vzduchu

Říjen 2026 byl na území ČR teplotně normální. Průměrná měsíční teplota vzduchu (8,9 °C) byla o 0,7 °C vyšší než normál 1991–2020 (Obr. 2.1.1, Obr. 2.1.2). V řadě průměrných říjnových teplot od roku 1961 se letošní říjen řadí jako 22. nejteplejší. Vůbec nejvyšší průměrná teplota v říjnu (11,3 °C) byla zaznamenána v roce 1966 a 2001 a naopak nejnižší (4,4 °C) v roce 1974. V posledních deseti letech se letošní říjen řadí jako třetí nejchladnější po říjnu 2025 a 2021 (s průměrnou teplotou 7,9 a 8,0 °C). Naopak nejteplejší byl v tomto období říjen 2023 (s průměrnou teplotou 11,1 °C).

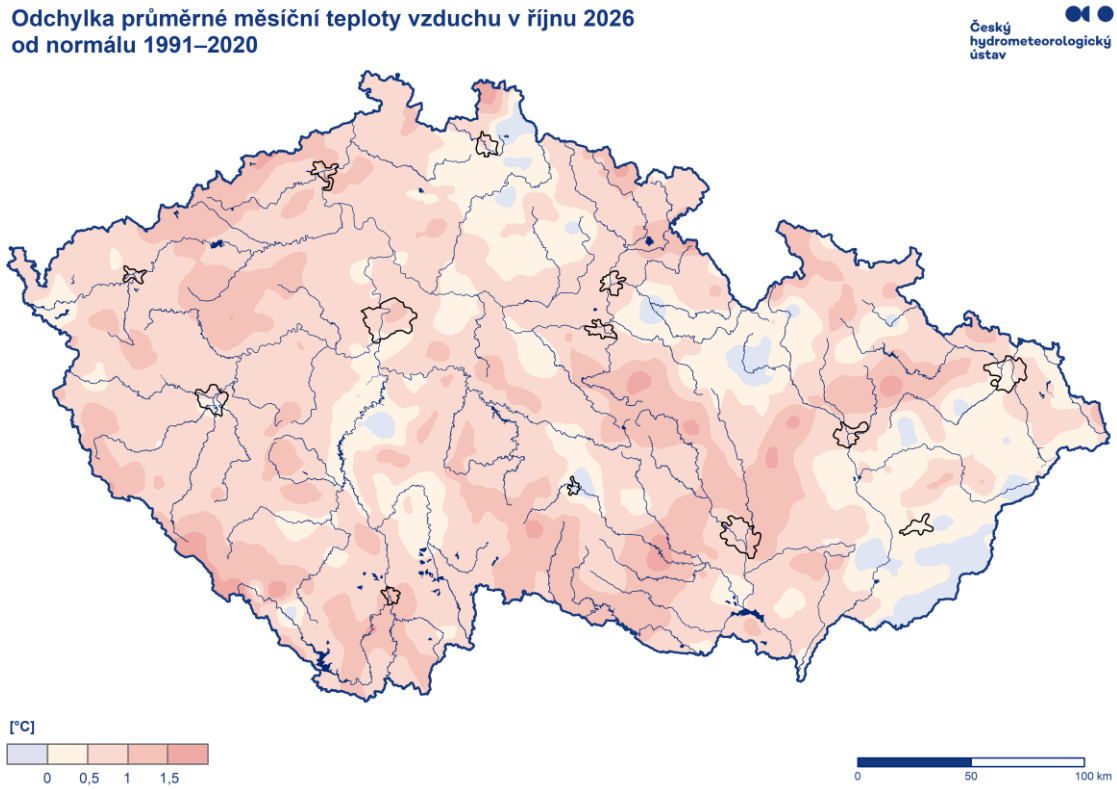
Začátek měsíce byl poměrně teplý, v první dekádě měsíce se průměrná denní teplota vzduchu na území ČR pohybovala nad hodnotou normálu (Obr. 2.1.3). Ve dnech 1. až 8. října se denní maxima teploty vzduchu na našem území ještě často pohybovala nad 20 °C. Po zbytek měsíce průměrná denní teplota vzduchu kolísala kolem hodnot normálu. Výrazně teplé byly ještě dny 16. a 21. října, kdy byla průměrná denní teplota vzduchu 2,3 a 5,0 °C nad normálem a denní maxima teploty vzduchu na několika stanicích překročila 20 °C. Naopak poměrně chladné byly dny 12. a 13. října s průměrnou teplotou více jak 2 °C pod normálem. V ostatních dnech druhé a třetí dekády měsíce se teplota pohybovala blízko hodnot normálu. Od 19. října (kromě 21. a 22. října) se denní maxima teploty vzduchu na našem území již většinou nedostala nad 15 °C.

Nejvyšší hodnota maximální denní teploty vzduchu v tomto měsíci 26,1 °C byla zaznamenána 1. října na stanici České Budějovice, Rožnov. Dosud historicky nejvyšší říjnová maximální denní teplota vzduchu 30,3 °C byla naměřena dne 4. října 1929 na stanici Litvínovice u Českých Budějovic (okres České Budějovice).

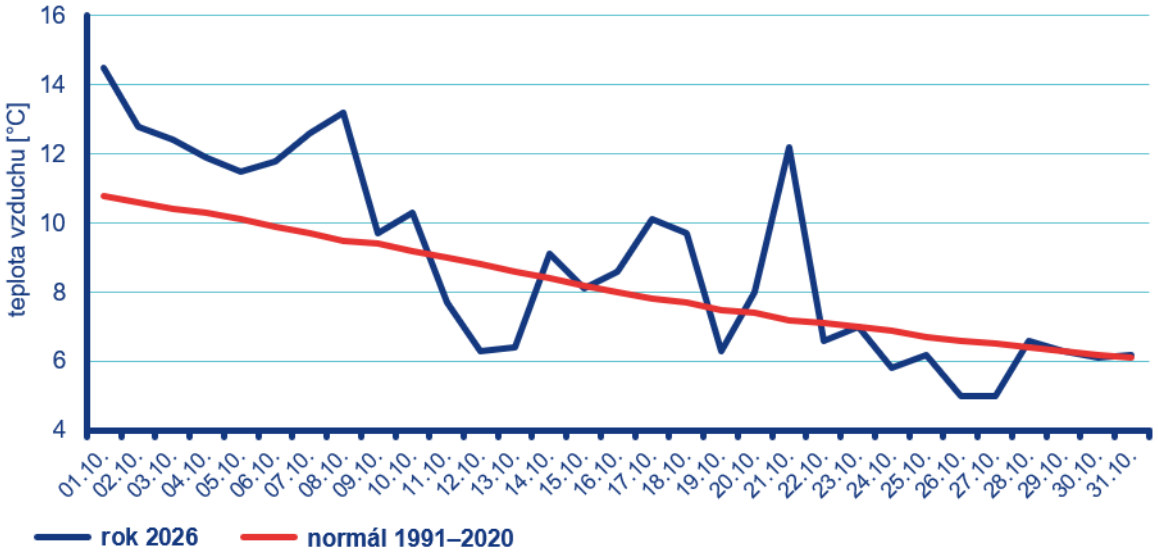
Nejnižší denní minimální teplota vzduchu −8,9 °C byla v tomto měsíci naměřena a 13. října na stanici Horská Kvilda (okres Klatovy). Pokud uvažujeme i stanice mimo standardní síť ČHMÚ, nejnižší hodnota −10,1 °C byla zaznamenána ve stejný den na stanici Březník (okres Klatovy) a Kvilda-Perla (okres Prachatice). Historicky nejnižší říjnová minimální denní teplota vzduchu −17,5 °C byla naměřena 31. října 1991 na stanici Horská Kvilda (okres Klatovy). Pokud uvažujeme i stanice mimo standardní síť ČHMÚ, dosud nejnižší hodnota −19,9 °C byla zaznamenána 21. října 2009 na stanici Rokytská slať (okres Klatovy).



Obr. 2.1.1 Průměrná měsíční teplota vzduchu na území ČR v říjnu 2026



Obr. 2.1.2 Odchylka průměrné měsíční teploty vzduchu od normálu 1991–2020 na území ČR v říjnu 2026



Obr. 2.1.3 *Průběh průměrné denní teploty vzduchu na území ČR v říjnu 2026 ve srovnání s normálem 1991–2020*

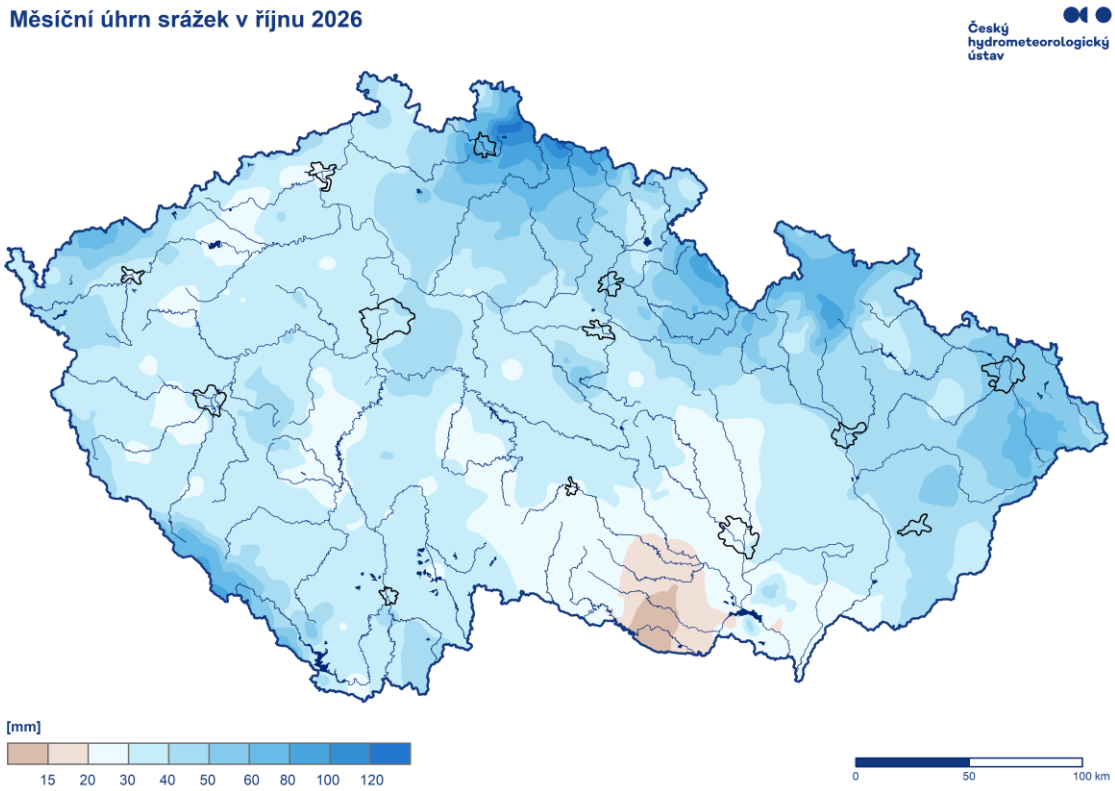
2.2 Srážky

Srážkově měsíc říjen hodnotíme jako normální. V průměru na našem území spadlo 39 mm srážek, což představuje 80 % normálu 1991–2020 (Obr. 2.2.1, Obr. 2.2.2).

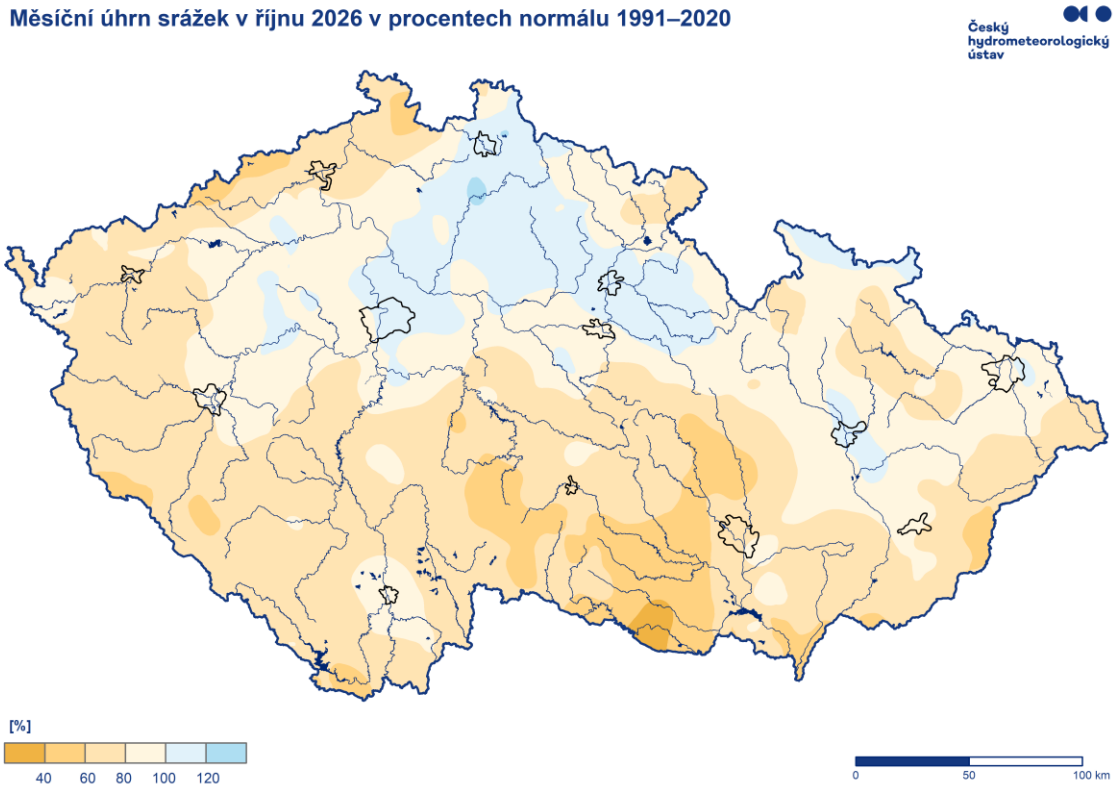
O něco více srážek během měsíce spadlo na území Čech (40 mm, 82 % normálu) než na území Moravy a Slezska (38 mm, 76 % normálu). Nejméně srážek v porovnání s normálem spadlo v krajích Jihomoravský (25 mm, 63 % normálu) a Vysočina (30 mm, 65 % normálu), naopak nejvíce v kraji Libereckém (63 mm, 100 % normálu).

Měsíční srážkové úhrny se na našem území pohybovaly v širokém rozpětí. Zatímco některé stanice na jihu Moravy zaznamenaly za celý měsíc méně než 20 mm srážek, na stanicích v horských polohách spadlo i přes 100 mm srážek. Nejvíce srážek za měsíc říjen (152,8 mm) zaznamenala stanice Labská bouda (okres Trutnov), a dále (126,6 mm) stanice Bílý Potok, Smědava (okres Liberec).

Srážky se na našem území vyskytovaly především v období 8–11. října a v poslední dekádě měsíce. Nejvíce srážek spadlo ve dnech 21. a 25. října, kdy se srážky vyskytovaly téměř na celém našem území a na velké části byly zaznamenány srážkové úhrny vyšší než 10 mm. Nejvyšší denní úhrn srážek v tomto měsíci (34,9 mm) zaznamenala 31. října stanice Luční bouda v Krkonoších.



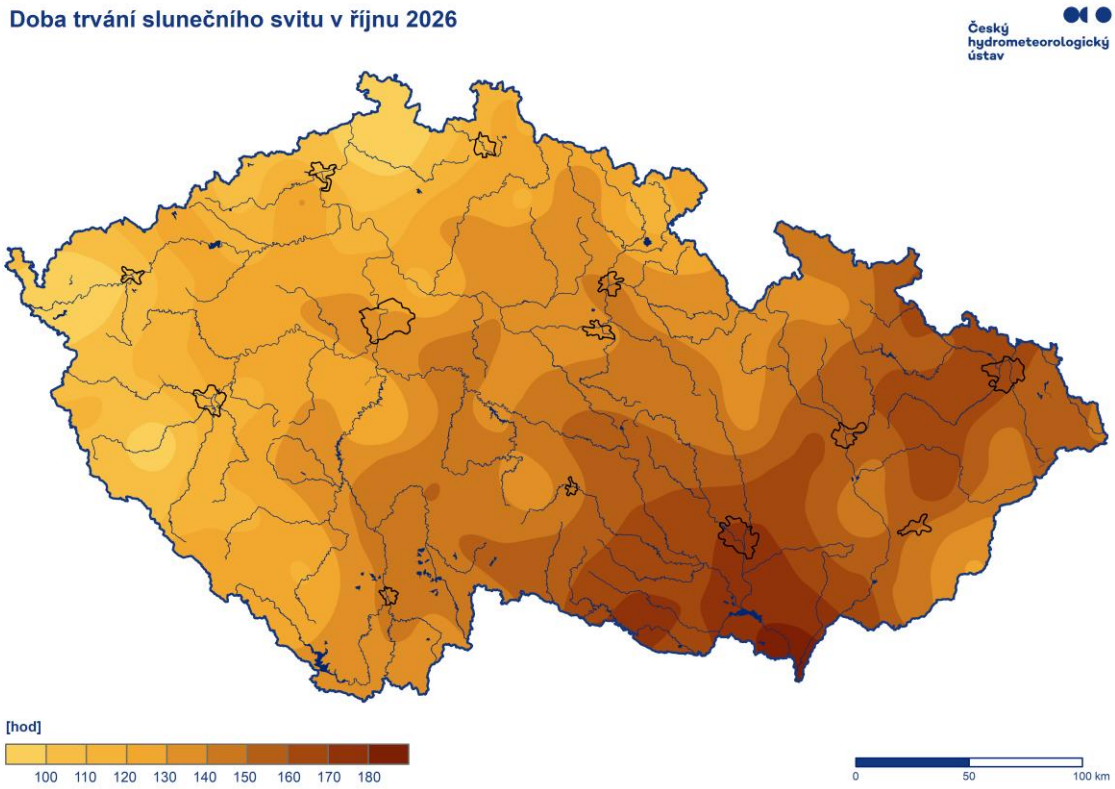
Obr. 2.2.1 Měsíční úhrn srážek na území ČR v říjnu 2026



Obr. 2.2.2 Měsíční úhrn srážek na území ČR v říjnu 2026 v procentech normálu 1991–2020

2.3 Sluneční svit

Průměrná délka slunečního svitu na území ČR byla tento měsíc 137 hodiny, což činí 130 % normálu 1991–2020 (Obr. 2.3.1). Nejvíce hodin slunečního svitu bylo v kraji Jihomoravském (168 h), naopak nejméně v kraji Karlovarském (104 h).



Obr. 2.3.1 Měsíční úhrn doby trvání slunečního svitu na území ČR v říjnu 2026

3 HYDROLOGICKÁ SITUACE

3.1 Povrchové vody

Odtokové poměry

Z odtokového hlediska byl říjen celkově dalším výrazně podprůměrným měsícem téměř ve všech hlavních povodích. Nejvíce vody odteklo v povodí Labe (40 % Q_X), o něco méně v povodí Vltavy (36 % Q_X) a Olše (35 % Q_X). Méně odteklo v povodí Dyje (32 % Q_X), Odry (28 % Q_X) a nejméně, stejně jako v předchozím měsíci, v povodí Moravy (24 % Q_X), (Tab. 3.1.1, Obr. 3.1.1, Obr. 3.1.2).

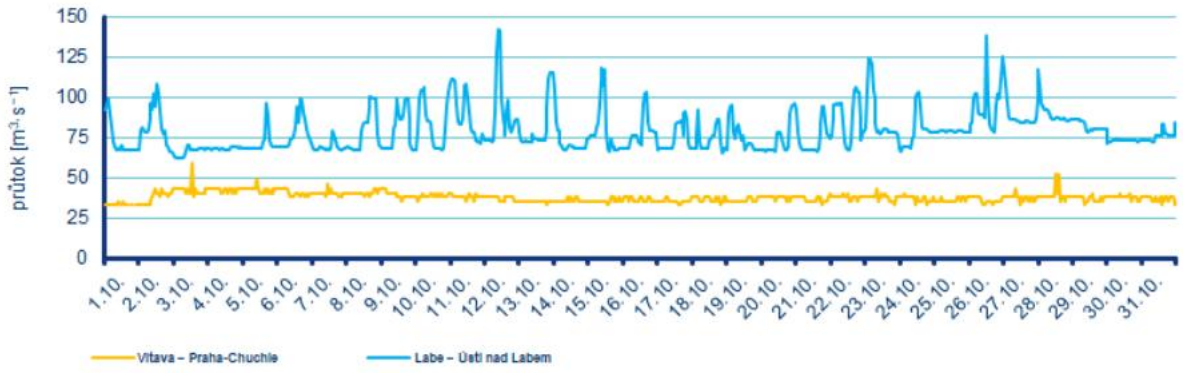
Průměrné měsíční průtoky se na většině sledovaných toků pohybovaly mezi 15 a 50 % Q_X. Nejméně vodné byly stejně jako v předchozím měsíci menší toky napříč celou republikou (do 10 % Q_X). Vyšších hodnot (nad 100 % Q_X) dosahovaly většinou toky pod přehradami, (Obr. 3.1.3). Odtok z Vltavské kaskády ve Vraném nad Vltavou se od začátku měsíce do 8. 10. pohyboval na úrovni 35 $m^3 \cdot s^{-1}$, dne 9. 10. však došlo vlivem manipulace na snížení odtoku na 28 $m^3 \cdot s^{-1}$ a tento odtok se udržoval až do konce měsíce.

Hladiny sledovaných toků měly v průběhu října převážně setrvalou tendenci nebo byly vlivem občasných srážek mírně rozkolísané s klesající tendencí. Ve třetí dekádě měsíce byly toky vlivem srážek na přechodných vzestupech a poté opět mírně rozkolísané s klesající tendencí. Celkové rozdíly hladin se pohybovaly nejčastěji od −3 do +4 cm. K ojedinělému dosažení 1. SPA došlo 29. 10. v Boskovicích pod přehradou vlivem manipulace ($Q_{<2}$), (Tab. 3.1.3, Obr. 3.1.4).

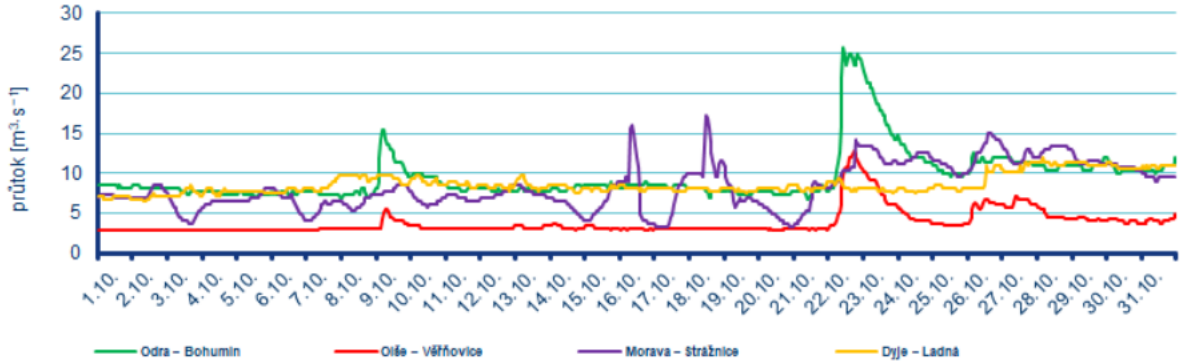
Vodnosti se v první polovině měsíce udržovaly nejčastěji v rozmezí $Q_{364–270d}$. Na začátku třetí dekády se vodnosti na větší části území zvětšily a dosahovaly hodnot většinou mezi $Q_{355–210d}$.

Tab. 3.1.1 Průměrné měsíční průtoky v závěrových profilech hlavních povodí, říjen 2026

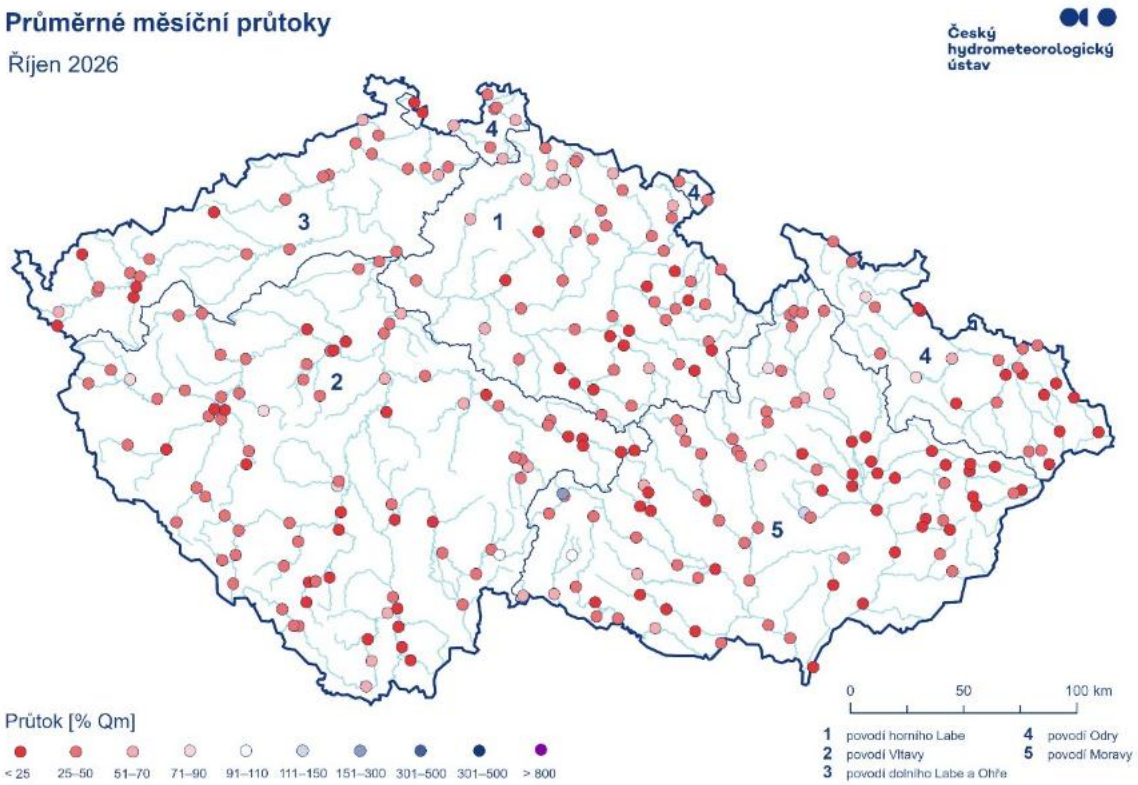
Tok	Profil	Q_m [%]	Q [$m^3 \cdot s^{-1}$]
Vltava	Praha-Chuchle	36	38
Labe	Ústí nad Labem	40	79
Odra	Bohumín	28	10
Olše	Věřňovice	35	4
Morava	Strážnice	24	8
Dyje	Břeclav-Ladná	32	9



Obr. 3.1.1 Průběh průtoků v říjnu v závěrových profilech Vltavy a Labe



Obr. 3.1.2 Průběh průtoků v říjnu v závěrových profilech Odry, Olše, Moravy a Dyje



Obr. 3.1.3 Průměrné měsíční průtoky na území ČR, říjen 2026

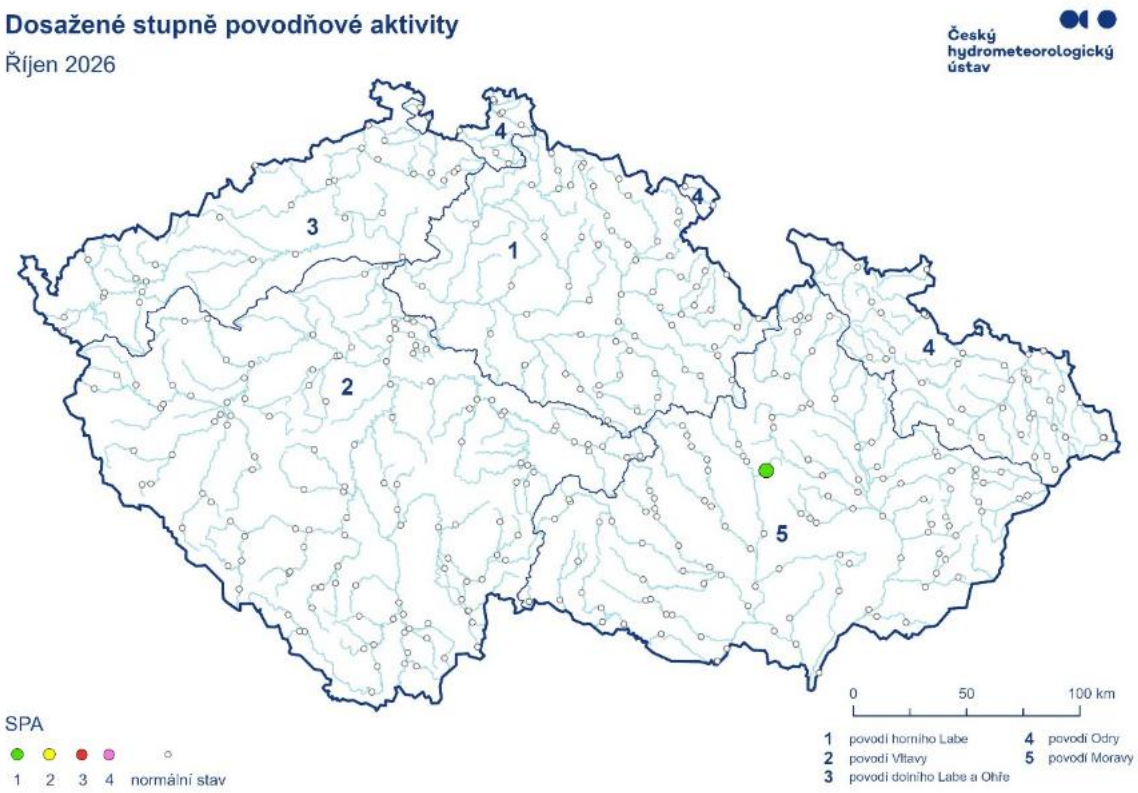
Tab. 3.1.2 Přehled průměrných, max. a min. průtoků (stavů), říjen 2026

Tok	Profil	ØQ	Qm	Qm	min. H	min. Q	max. H	max. Q	DD min.	DD max.
		$m^3 \cdot s^{-1}$	$m^3 \cdot s^{-1}$	%	cm	$m^3 \cdot s^{-1}$	cm	$m^3 \cdot s^{-1}$	–	–
Orlice	Týniště nad Orlicí	2,70	10,0	27	37	1,70	82	10,0	2	26
Labe	Přelouč	14,0	35,0	39	17	9,60	59	31,0	14	13
Cidlina	Sány	1,00	2,20	46	4	0,09	74	6,40	30	12
Jizera	Bakov nad Jizerou	7,90	15,0	54	116	3,60	192	23,0	2	26
Labe	Kostelec nad Labem	21,0	59,0	36	391	4,80	412	61,0	6	23
Vltava	Vyšší Brod	6,50	9,80	66	26	1,60	79	12,0	7	1
Malše	Roudné	0,76	5,40	14	-3	0,54	11	1,30	30	10
Vltava	České Budějovice	8,90	20,0	44	102	5,26	107	16,1	24	1
Lužnice	Bechyně	5,00	24,0	21	77	2,00	112	10,0	1	24
Otava	Písek	4,20	17,0	25	30	2,70	78	16,0	1	27
Sázava	Nespeky	3,20	11,0	29	32	1,50	59	8,40	4	28
Berounka	Plzeň-Bílá Hora	3,40	12,0	28	80	2,40	95	6,00	10	8
Berounka	Beroun	4,60	23,0	20	74	3,10	97	8,40	20	9
Vltava	Praha-Chuchle	38,0	110	36	37	33,0	49	59,0	26	3
Ohře	Karlovy Vary	6,90	18,0	38	34	4,40	47	9,50	1	26
Ohře	Louny	8,60	24,0	36	162	6,70	179	12,0	27	9
Labe	Ústí nad Labem	79,0	200	40	110	62,0	173	140	3	12
Bílina	Trmice	1,70	4,00	42	90	1,30	115	3,50	1	25
Ploučnice	Benešov nad Ploučnicí	3,20	7,20	44	68	2,20	82	5,10	25	22
Labe	Děčín	85,0	210	41	80	74,0	117	120	20	12
Odra	Svinov	1,90	11,0	18	97	0,60	123	7,60	4	23
Opava	Děhylov	3,10	11,0	27	73	1,90	97	8,40	1	22
Ostravice	Ostrava	3,30	9,70	34	53	2,30	89	11,0	19	22
Odra	Bohumín	9,60	34,0	28	140	6,60	173	26,0	21	22
Olše	Věřňovice	3,80	11,0	35	57	2,90	87	13,0	1	22
Morava	Olomouc	3,50	15,0	24	72	2,10	93	7,70	3	27
Bečva	Dluhonice	1,90	12,0	17	101	1,10	122	6,70	12	27
Morava	Strážnice	8,40	35,0	24	70	3,40	103	17,0	17	18
Svratka	Židlochovice	3,60	11,0	33	23	1,10	57	8,20	2	26
Jihlava	Ivančice	1,50	7,00	21	85	0,61	110	3,50	16	31
Dyje	Ladná	8,60	27,0	32	11	6,50	25	12,0	2	28

Poznámka: ØQ…Průměrný průtok, Qm…Dlouhodobý průměrný průtok příslušného měsíce, % Qm…Procenta měsíčního průměru H…Stav, Q…Průtok, DD…Den v měsíci

Tab. 3.1.3 Přehled kulminací na tocích, kde byly v říjnu 2026 dosaženy SPA

Tok	Stanice	Den	Čas kulminace	Stav [cm]	Průtok [$m^3.s^{-1}$]	Vodnost [N-letost]	SPA	Kraj	ORP
Bělá	Boskovice pod přehradou	29	11:40	56	2,26	<2	1	B	Boskovice



Obr. 3.1.4 Dosažené SPA, říjen 2026

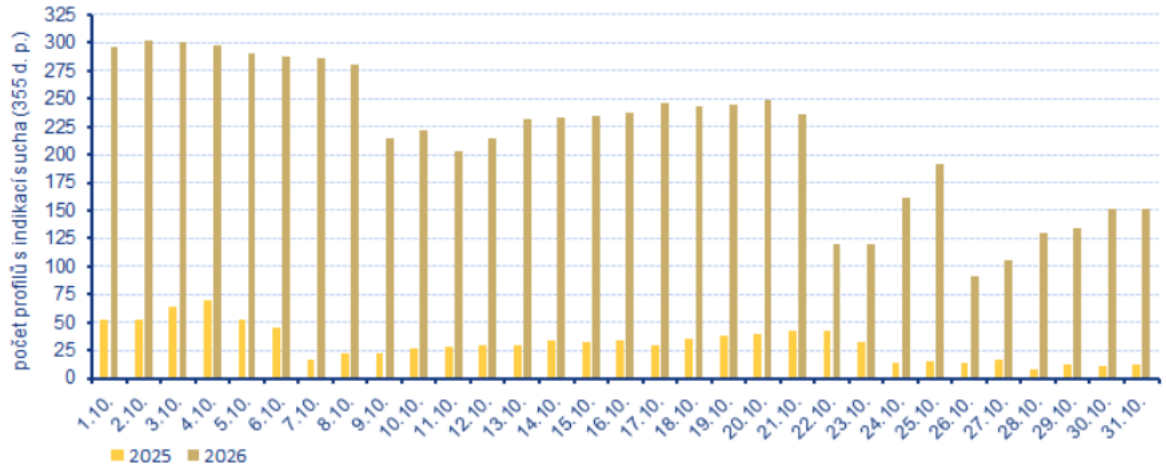
Sucho na území ČR

Počet hlásných profilů (kategorie A+B) s průtoky menšími než 25 % Q_X v průběhu října postupně pozvolna klesal ve všech hlavních povodí. Zatímco na začátku měsíce bylo evidováno 165 profilů s průtoky menšími než 25 % Q_X, ke konci měsíce jejich počet klesl na 72 profilů, což je úbytek o více než polovinu, (Tab. 3.1.4).

Počet operativních hydrologických profilů s indikací hydrologického sucha ($Q_{364\text{-}355d}$) se v průběhu října pozvolna měnil a často kolísal, nicméně byl v průběhu měsíce zřejmý pokles suchých profilů s touto indikací. Maximální počet těchto profilů byl zaznamenán zkraje měsíce 2. 10. na hodnotě 302 profilů, minimum bylo zaznamenáno 26. 10. na hodnotě 91 profilů. V porovnání sucha s loňským rokem byla situace v říjnu výrazně horší, (Obr. 3.1.5).

Tab. 3.1.4 Procentuální vývoj počtu hlásných profilů (kategorie A+B) v hlavních povodích s průměrnými týdenními průtoky menšími než 25 % Qm, říjen 2026

Povodí	Q < 25 % Qm				
	T40 (28. 9. – 4. 10.)	T41 (5. – 11. 10.)	T42 (12. – 18. 10.)	T43 (19. – 25. 10.)	T44 (26. 10. – 1. 11.)
Horní Labe	22	18	14	13	8
Vltava	63	52	44	29	27
Dolní Labe a Ohře	7	6	6	4	2
Odra	20	22	23	14	14
Morava po Dyji	30	31	30	23	11
Dyje	23	16	16	13	10
Celkem	**165**	**145**	**133**	**96**	**72**



Obr. 3.1.5 Vývoj počtu operativních hydrologických profilů s indikací hydrologického sucha (Q_{355d}), říjen 2025 a 2026

Nádrže

U většiny sledovaných vodních nádrží byly hladiny během října převážně na poklesu, případně vykazovaly slabě rozkolísané stavy. Celkově se změny v zaplnění zásobních prostorů pohybovaly nejčastěji mezi −5 až +2 %. Největší pokles byl zaznamenán na vodních dílech Rozkoš (–9 %), Seč (−8 %) a Slapy (–7 %). Naopak výraznější vzestupy zaznamenala vodní díla Skalka (+14 %), Kružberk (+8 %) a Mostiště (+17 %).

Většina nádrží byla na konci října naplněna minimálně na 45 %. Méně naplněné byly nádrže Pastviny (39 %), Lipno (42 %), Orlík (18 %), Hracholusky (35 %), Vranov (20 %) a Vír (42 %).

Zásoba vody v nádržích Vltavské kaskády nad dispečerským minimem byla k 5. 10. na hodnotě −98,99 mil. m³, poté klesala až na –101,93 mil. m³ ke dni 12. 10. a poté v průběhu měsíce zásoba vody pozvolna narůstala až k hodnotě −92,36 mil. m³ ke dni 2. 11.

3.2 Podzemní vody

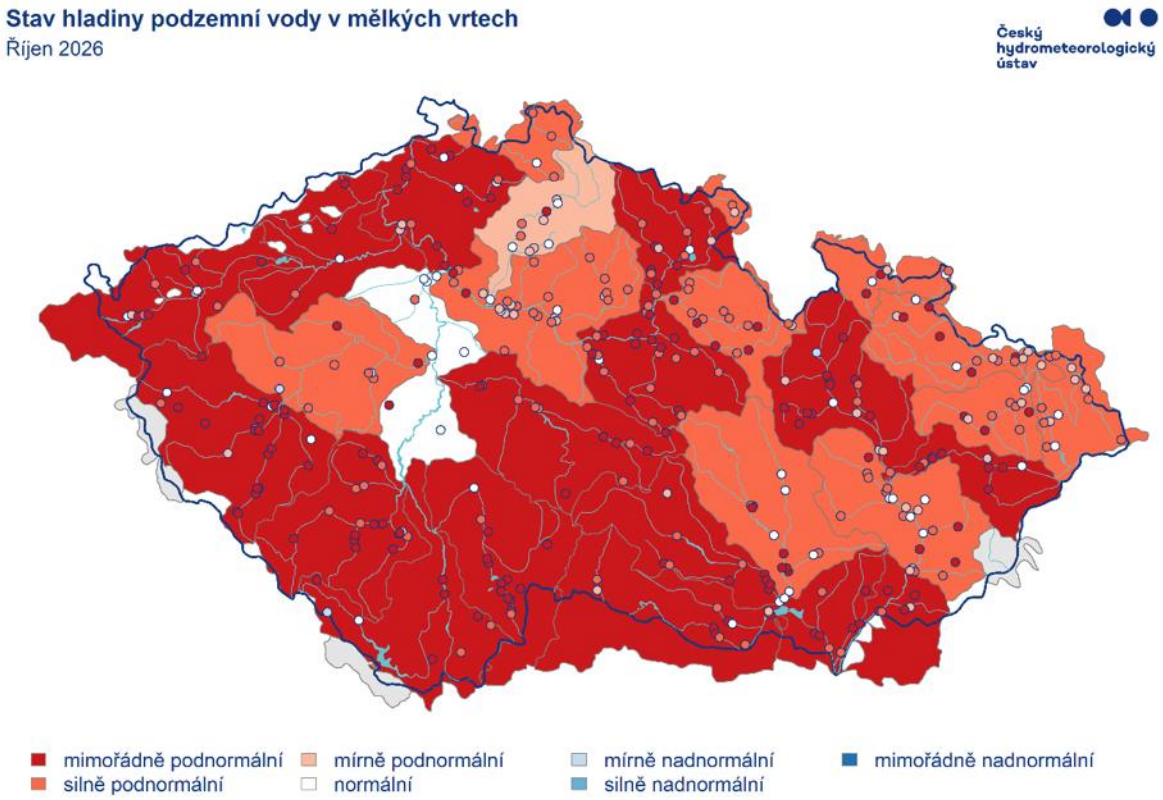
Mělké vrty

Hladina podzemní vody v mělkých vrtech byla v říjnu na území ČR celkově mimořádně podnormální (Tab. 3.2.1); z hlediska hladiny se jednalo o nejsušší říjen od roku 1981. Mimořádně podnormální hladina byla zaznamenána v dílčích povodích Horní Vltavy, Berounky, Dolní Vltavy, Ohře, Dolního Labe a ostatních přítoků Labe, Moravy a přítoků Váhu a Dyje; na zbylém území byla hladina silně podnormální (Tab. 3.2.1, Obr. 3.2.1). Nejhorší sucho ve srovnání s celou řadou nastalo v dílčích povodích Horní Vltavy, Berounky, Ohře, Dolního Labe a ostatních přítoků Labe, Moravy a přítoků Váhu a Dyje. V povodí Berounky se jedná dokonce o šestý nejhorší měsíc v řadě (vztaženo k celé řadě). Naopak v dílčích povodích Horního a středního Labe, Dolní Vltavy, Lužické Nisy a ostatních přítoků Odry a Horní Odry nebylo sucho z října 2018, resp. 2015 (Horní Odra) překonáno. Největší podíl mělkých vrtů se silně nebo mimořádně podnormální hladinou se vyskytoval v dílčím povodí Horní Vltavy (90 %) a v dílčím povodí Berounky (81 %). Vrty se silně nebo mimořádně nadnormální hladinou se v daném měsíci nevyskytovaly (Tab. 3.2.2).

Ve srovnání s předchozím měsícem hladina celkově stagnovala, však zůstal stav ČR mimořádně podnormální. Podíl vrtů se silně nebo mimořádně podnormální hladinou se mírně zvýšil na 73 %, přičemž podíl vrtů s mimořádně podnormální hladinou se zvýšil na 39 %; podíl vrtů s normální hladinou se naopak snížil na 14 % (Tab. 3.2.2). Stagnace až mírný pokles hladiny byl zaznamenán u 53 % mělkých vrtů a stagnace až mírný vzestup u 44 % vrtů. Vzestup hladiny nastal u 2 % vrtů, pokles ani velký pokles hladiny se nevyskytoval (Tab. 3.2.3). Ve všech dílčích povodích zůstal stav meziměsíčně beze změny (Tab. 3.2.1).

Meziročně hladina v mělkých vrtech v říjnu celkově výrazně poklesla a stav se zhoršil z normálního na mimořádně podnormální (Tab. 3.2.1). Pokles nebo velký pokles hladiny byl zaznamenán u 70 % mělkých vrtů, zatímco vzestup nebo velký vzestup hladiny nebyl zaznamenán (Tab. 3.2.4). Nejvýraznější meziroční pokles hladiny byl zaznamenán v dílčím povodí Moravy a přítoků Váhu (pokles nebo velký pokles u 88 % vrtů), kde se stav zhoršil z normálního na mimořádně podnormální. Výrazně poklesla hladina také v dílčích povodích Horní Vltavy (80 % vrtů), Berounky, Dolní Vltavy a Dyje (shodně 75 % vrtů), kde se stav rovněž zhoršil z normálního na mimořádně podnormální. Ke zlepšení stavu nedošlo meziročně v žádném dílčím povodí (Tab. 3.2.1, Tab. 3.2.4).

.



Obr. 3.2.1 Stav hladiny podzemní vody v mělkých vrtech v říjnu 2026 ve skupinách povodí, vztaženo k referenčnímu období 1991–2020.

Tab. 3.2.1 Pravděpodobnost překročení úrovně hladiny v mělkých vrtech v dílčích povodích. KP – křivka překročení (%), HLS – Horní a střední Labe, HVL – Horní Vltava, BER – Berounka, DVL – Dolní Vltava, ODL – Ohře a Dolní Labe, HOD – Horní Odra, LNI – Lužická Nisa, MOR – Morava, DYJ – Dyje. Červená barevná škála odpovídá mimořádně, silně a mírně podnormálnímu stavu. Modrá barevná škála představuje mírně, silně, mimořádně nadnormální stav.

Povodí/ Zařazení úrovně hladiny na KP v %	HSL	HVL	BER	DVL	ODL	HOD	LNI	MOR	DYJ	ČR
X 2026	94	99	99	98	100	92	92	98	97	97
IX 2026	95	98	99	97	97	91	90	96	97	97
X 2025	71	66	73	60	81	55	57	48	55	67

<95,100>	<85,95)	<75,85)	(25,75)	(15,25>	(5,15>	<5,0>

Tab. 3.2.2 Stav hladiny v mělkých vrtech v % počtu objektů.

Povodí	Mimořádně podnormální hladina	Silně podnormální hladina	Mírně podnormální hladina	Normální hladina	Mírně nadnormální hladina	Silně nadnormální hladina	Mimořádně nadnormální hladina
Horní a střední Labe	24	50	17	9	0	0	0
Horní Vltava	63	27	2	5	2	0	0
Berounka	59	22	3	12	3	0	0
Dolní Vltava	35	35	0	30	0	0	0
Ohře a Dolní Labe	47	24	12	18	0	0	0
Horní Odra	22	33	27	18	0	0	0
Lužická Nisa	0	67	17	17	0	0	0
Morava	42	26	18	12	2	0	0
Dyje	45	30	7	18	0	0	0
ČR	39	34	13	14	1	0	0

Tab. 3.2.3 Porovnání hladiny v mělkých vrtech s předchozím měsícem v % počtu objektů.

Povodí	Velký pokles	Pokles	Stagnace až mírný pokles	Stagnace až mírný vzestup	Vzestup	Velký vzestup
Horní a střední Labe	0	0	53	46	1	0
Horní Vltava	0	0	59	34	7	0
Berounka	0	0	34	66	0	0
Dolní Vltava	0	0	53	47	0	0
Ohře a Dolní Labe	3	0	50	41	3	3
Horní Odra	0	0	64	34	2	0
Lužická Nisa	0	0	67	33	0	0
Morava	0	0	62	34	4	0
Dyje	0	0	43	55	2	0
ČR	0	0	53	44	2	0

Tab. 3.2.4 Porovnání hladiny v mělkých vrtech se stejným měsícem předchozího roku v % počtu objektů.

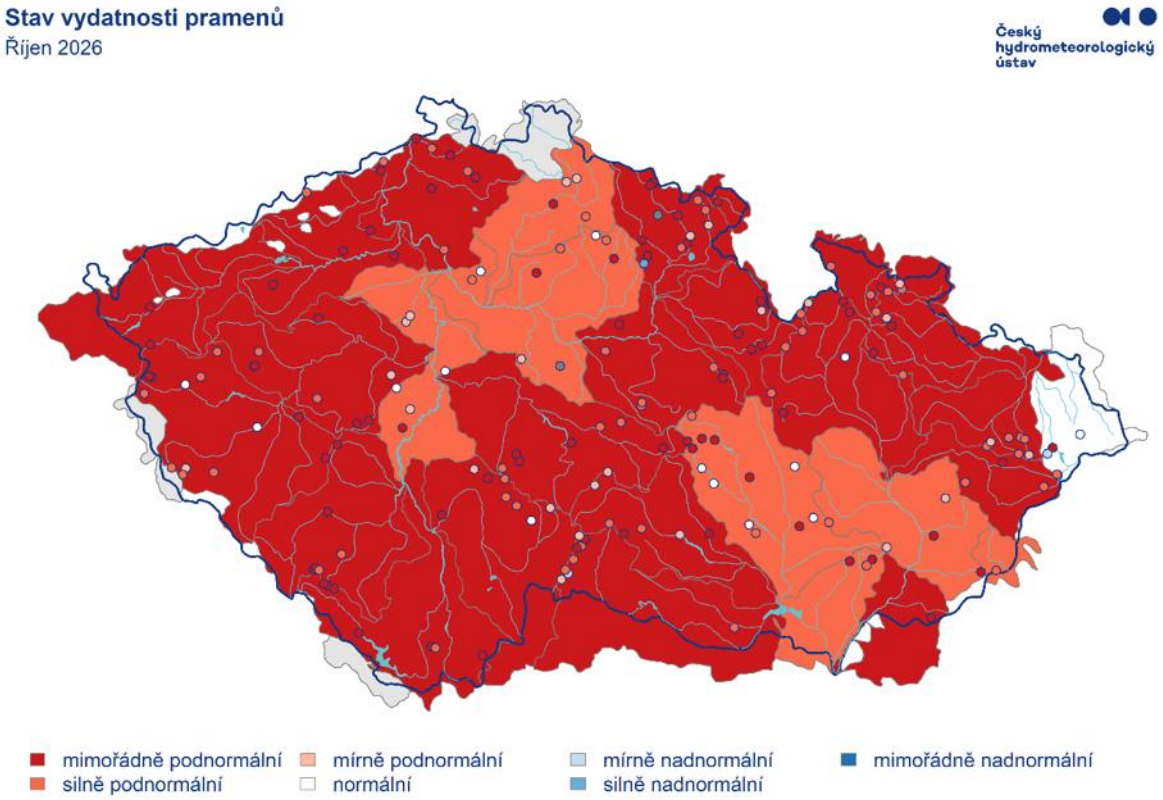
Povodí	Velký pokles	Pokles	Stagnace až mírný pokles	Stagnace až mírný vzestup	Vzestup	Velký vzestup
Horní a střední Labe	17	39	42	2	0	0
Horní Vltava	51	29	17	2	0	0
Berounka	34	41	25	0	0	0
Dolní Vltava	30	45	25	0	0	0
Ohře a Dolní Labe	18	47	35	0	0	0
Horní Odra	29	31	38	0	2	0
Lužická Nisa	33	33	17	17	0	0
Morava	39	49	12	0	0	0
Dyje	30	45	25	0	0	0
ČR	30	40	29	1	0	0

Prameny

Vydatnost pramenů byla v říjnu na území ČR celkově mimořádně podnormální a z pohledu stavu vydatnosti se jednalo o nejsušší říjen od roku 1981. Mimořádně podnormální vydatnost byla zaznamenána ve všech dílčích povodích (Tab. 3.2.5, Obr. 3.2.2). Nejhorší sucho ve srovnání s celou řadou od roku 1981 nastalo téměř na celém území. V případě Ohře, Dolního Labe a ostatních přítoků Labe se jedná dokonce už o 8. nejsušší měsíc v řadě (vztaženo k celé řadě). Pouze v dílčích povodích Horní Odry a Dyje nebylo sucho z roku 2015, resp. 2018 (Dyje) překonáno. Mimořádně podnormální stav převládal i ve skupinách povodí; normální vydatnost se udržela pouze v povodí Olše a silně podnormální vydatnost byla zaznamenána v povodích Jizery, středního Labe po Vltavu, dolní Vltavy, střední Moravy, Vláry, Svratky a dolní Dyje (Obr. 3.2.2). Největší podíl pramenů se silně nebo mimořádně podnormální vydatností byl zaznamenán v dílčích povodích Ohře, Dolního Labe a ostatních přítoků Labe (100 %) a Moravy a přítoků Váhu (82 %). Prameny se silně nebo mimořádně nadnormální vydatností se vyskytovaly pouze ojediněle, nejčastěji v dílčím povodí Horního a středního Labe (3 %, Tab. 3.2.6).

Ve srovnání s předchozím měsícem se vydatnost pramenů většinou jen mírně zmenšovala až stagnovala a stav zůstal mimořádně podnormální. Podíl pramenů se silně nebo mimořádně podnormální vydatností se mírně zvýšil na 77 %, přičemž podíl pramenů s mimořádně podnormální vydatností se zvýšil na 42 %; podíl pramenů s normální vydatností zůstal na 8 % (Tab. 3.2.6). Podíl pramenů se silně nebo mimořádně nadnormální vydatností činil pouze 1 %. Stagnace až mírné zmenšení vydatnosti bylo zaznamenáno u 74 % pramenů a stagnace až mírné zvětšení u 24 % pramenů. Zmenšení vydatnosti nastalo u 1 % pramenů a zvětšení u 1 % pramenů (Tab. 3.2.7). K mírnému zhoršení stavu došlo pouze v dílčím povodí Horní Odry, kde se stav zhoršil ze silně podnormálního na mimořádně podnormální; v ostatních dílčích povodích zůstal stav meziměsíčně beze změny (Tab. 3.2.5, Tab. 3.2.7).

Meziročně se vydatnost pramenů v říjnu celkově zmenšila a stav se zhoršil ze silně podnormálního na mimořádně podnormální (Tab. 3.2.5). Zmenšení nebo velké zmenšení vydatnosti bylo zaznamenáno u 44 % pramenů, zvětšení nebo velké zvětšení vydatnosti se nevyskytovalo (Tab. 3.2.8). K nejvýraznějšímu zhoršení došlo v dílčím povodí Horní Odry (zmenšení nebo velké zmenšení vydatnosti zde nastalo u 54 % pramenů), kde se stav zhoršil z normálního až na mimořádně podnormální, a v dílčím povodí Dolní Vltavy (50 % pramenů), kde se stav rovněž zhoršil z normálního na mimořádně podnormální. Výrazně se zmenšila vydatnost také v dílčím povodí Horního a středního Labe (52 % pramenů), kde se stav zhoršil z mírně podnormálního na mimořádně podnormální. Ke zlepšení stavu nedošlo meziročně v žádném dílčím povodí (Tab. 3.2.5, Tab. 3.2.8).



Obr. 3.2.2 Stav vydatnosti pramenů v říjnu 2026 ve skupinách povodí, vztaženo k referenčnímu období 1991–2020.

Tab. 3.2.5 Pravděpodobnost překročení úrovně vydatnosti pramenů v dílčích povodích. KP – křivka překročení (%), HLS – Horní a střední Labe, HVL – Horní Vltava, BER – Berounka, DVL – Dolní Vltava, ODL – Ohře a Dolní Labe, HOD – Horní Odra, LNI – Lužická Nisa, MOR – Morava, DYJ – Dyje. Červená barevná škála odpovídá mimořádně, silně a mírně podnormálnímu stavu. Modrá barevná škála představuje mírně, silně, mimořádně nadnormální stav.

Povodí/ Zařazení hodnot vydatnosti na KP v %	HSL	HVL	BER	DVL	ODL	HOD	LNI	MOR	DYJ	ČR
X 2026	98	100	100	98	100	98	100	99	96	99
IX 2026	97	99	100	98	100	95	100	97	96	99
X 2025	78	96	89	74	100	43	99	75	82	89

<95,100>	<85,95)	<75,85)	(25,75)	(15,25>	(5,15>	<5,0>

Tab. 3.2.6 Vydatnost pramenů v % počtu objektů.

Povodí	Mimořádně podnormální vydatnost	Silně podnormální vydatnost	Mírně podnormální vydatnost	Normální vydatnost	Mírně nadnormální vydatnost	Silně nadnormální vydatnost	Mimořádně nadnormální vydatnost
Horní a střední Labe	42	34	16	5	0	3	0
Horní Vltava	57	24	14	5	0	0	0
Berounka	38	43	10	10	0	0	0
Dolní Vltava	36	29	21	14	0	0	0
Ohře a Dolní Labe	65	35	0	0	0	0	0
Horní Odra	18	50	18	9	5	0	0
Lužická Nisa	100	0	0	0	0	0	0
Morava	41	41	12	6	0	0	0
Dyje	38	28	16	16	3	0	0
ČR	42	35	14	8	1	1	0

Tab. 3.2.7 Porovnání vydatnosti pramenů s předchozím měsícem v % počtu objektů.

Povodí	Velké zmenšení	Zmenšení	Stagnace až mírné zmenšení	Stagnace až mírné zvětšení	Zvětšení	Velké zvětšení
Horní a střední Labe	0	3	73	22	3	0
Horní Vltava	0	5	71	24	0	0
Berounka	0	0	81	19	0	0
Dolní Vltava	0	0	83	17	0	0
Ohře a Dolní Labe	0	0	65	35	0	0
Horní Odra	0	0	68	32	0	0
Lužická Nisa	0	0	100	0	0	0
Morava	0	0	82	18	0	0
Dyje	0	0	72	25	3	0
ČR	0	1	74	24	1	0

Tab. 3.2.8 Porovnání vydatnosti pramenů se stejným měsícem předchozího roku v % počtu objektů.

Povodí	Velké zmenšení	Zmenšení	Stagnace až mírné zmenšení	Stagnace až mírné zvětšení	Zvětšení	Velké zvětšení
Horní a střední Labe	18	34	45	3	0	0
Horní Vltava	0	29	71	0	0	0
Berounka	33	14	43	10	0	0
Dolní Vltava	7	43	50	0	0	0
Ohře a Dolní Labe	0	24	65	12	0	0
Horní Odra	27	27	41	5	0	0
Lužická Nisa	0	100	0	0	0	0
Morava	24	12	65	0	0	0
Dyje	9	38	47	6	0	0
ČR	15	29	51	4	0	0

Hluboké vrty

U hlubokých vrtů se stal říjen 2026 již sedmým měsícem v řadě s vůbec nejhorším stavem (největší zápornou odchylkou od měsíčního normálu) od počátku hodnocené řady, tedy od roku 1991. Výrazně horší je přitom stav v Čechách, ale i na jihu Moravy se již zhoršil dosud lepší stav hladiny trvající od povodní v září 2024.

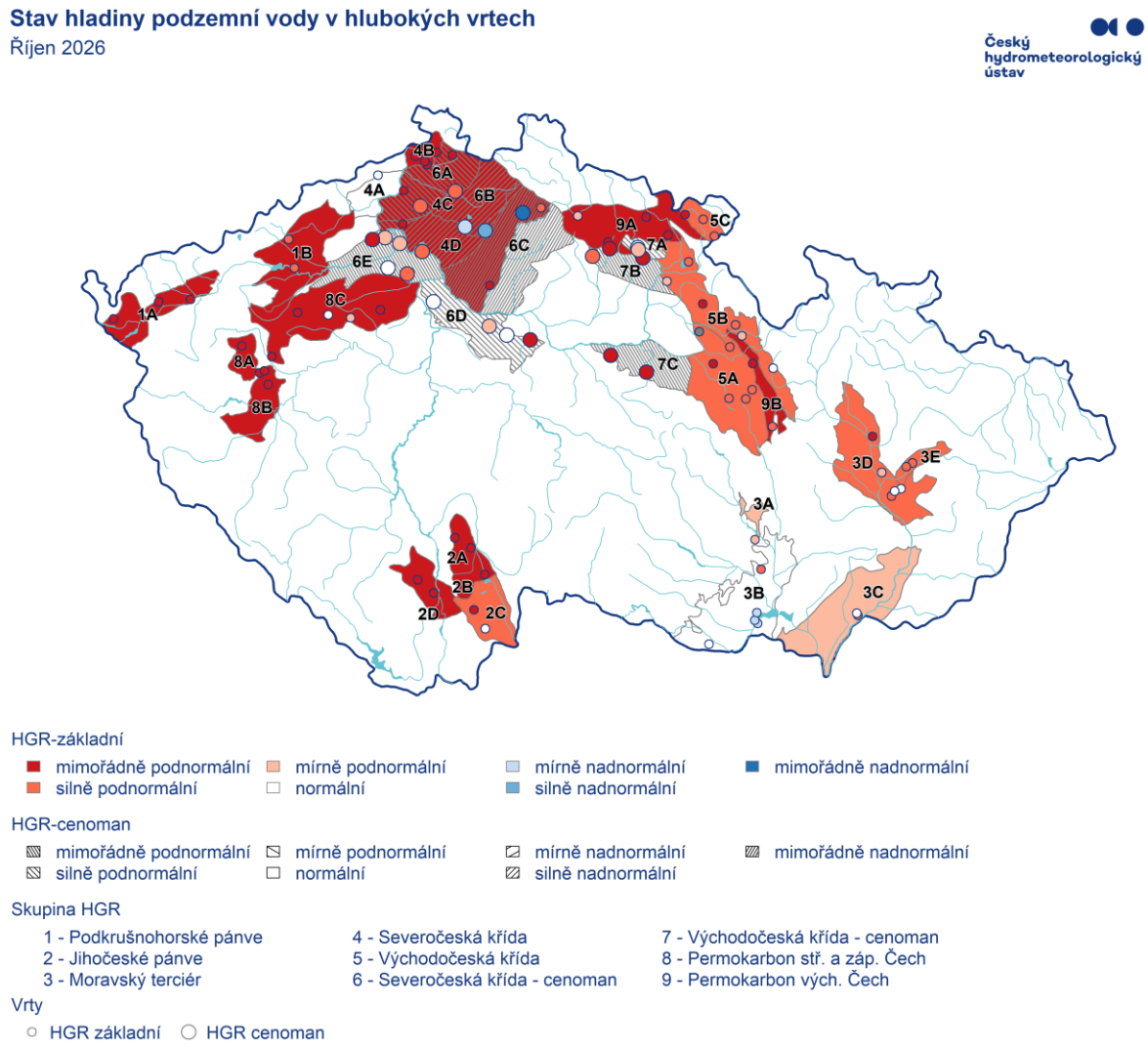
Hladina podzemní vody v hlubokých vrtech[1] byla v říjnu mimořádně podnormální v celé oblasti Podkrušnohorských pánví (1A, 1B), v části Jihočeských pánví (2A, 2B, 2D), Severočeské křídy (4B, 4C, 4D), v celém Permokarbonu středních a západních Čech (8A–8C), v celém Permokarbonu východních Čech (9A, 9B) a v části Severočeské křídy – cenomanu (6E) a Východočeské křídy – cenomanu (7B, 7C). Silně podnormální byla hladina v části Jihočeských pánví (2C), Moravského terciéru (3D, 3E), v celé Východočeské křídě (5A–5C) a v části Severočeské křídy – cenomanu (6A, 6D) a Východočeské křídy – cenomanu (7A). Mírně podnormální byla hladina v části Moravského terciéru (3A, 3C). Silně a mimořádně nadnormální byla stále hladina v částech Severočeské křídy – cenomanu (6B a 6C), které mají výrazně víceletý režim. V ostatních skupinách hg rajonů byla hladina normální (Obr. 3.2.1).

Oproti minulému měsíci se zhoršil stav části Podkrušnohorských pánví (1B), Moravského terciéru (3A, 3C), Permokarbonu středních a západních Čech (8C), Severočeské křídy – cenomanu (6E) a Východočeské křídy – cenomanu (7A), zlepšil se pouze stav části Jihočeských pánví (2C). Výrazně se snížil podíl vrtů s normální (18 → 13 %) hladinou, zvýšil se naopak podíl vrtů s mírně podnormální (8 → 11 %) hladinou, změny v ostatních kategoriích byly nevýznamné (Tab. 3.2.1).

K poklesu nebo velkému poklesu hladiny došlo u pouhého 1 % vrtů, stagnaci až mírný pokles zaznamenalo 83 % vrtů. Vzestup nebo velký vzestup nezaznamenal žádný vrt (Tab. 3.2.2).

V meziročním porovnání se stejným měsícem minulého roku se zhoršil stav hladiny v celé ČR. Pokles nebo velký pokles hladiny zaznamenalo 56 % vrtů, naopak vzestup nebo velký vzestup hladiny nezaznamenal žádný vrt (Tab. 3.2.3).

[1] Při interpretaci výsledků je třeba brát v úvahu, že hodnocení hlubokých zvodní je prováděno na menším počtu vrtů a často na kratších pozorovaných řadách, než vyhodnocování mělkých vrtů a pramenů. Většina hlubokých vrtů má sice pozorování od roku 1991, část z nich však jen od roku 2008.



Obr. 3.2.1 Stav hladiny podzemní vody v hlubokých vrtech v říjnu 2026, vztaženo k referenčnímu období 1991–2020.

Tab. 3.2.1 Stav hladiny v hlubokých vrtech v % počtu objektů.

Povodí	Mimořádně podnormální hladina	Silně podnormální hladina	Mírně podnormální hladina	Normální hladina	Mírně nadnormální hladina	Silně nadnormální hladina	Mimořádně nadnormální hladina
ČR	42	27	11	13	4	1	1

Tab. 3.2.2 Porovnání hladiny v hlubokých vrtech s předchozím měsícem v % počtu objektů.

Povodí	Velký pokles	Pokles	Stagnace až mírný pokles	Stagnace až mírný vzestup	Vzestup	Velký vzestup
ČR	0	1	83	16	0	0

Tab. 3.2.3 Porovnání hladiny v hlubokých vrtech se stejným měsícem předchozího roku v % počtu objektů.

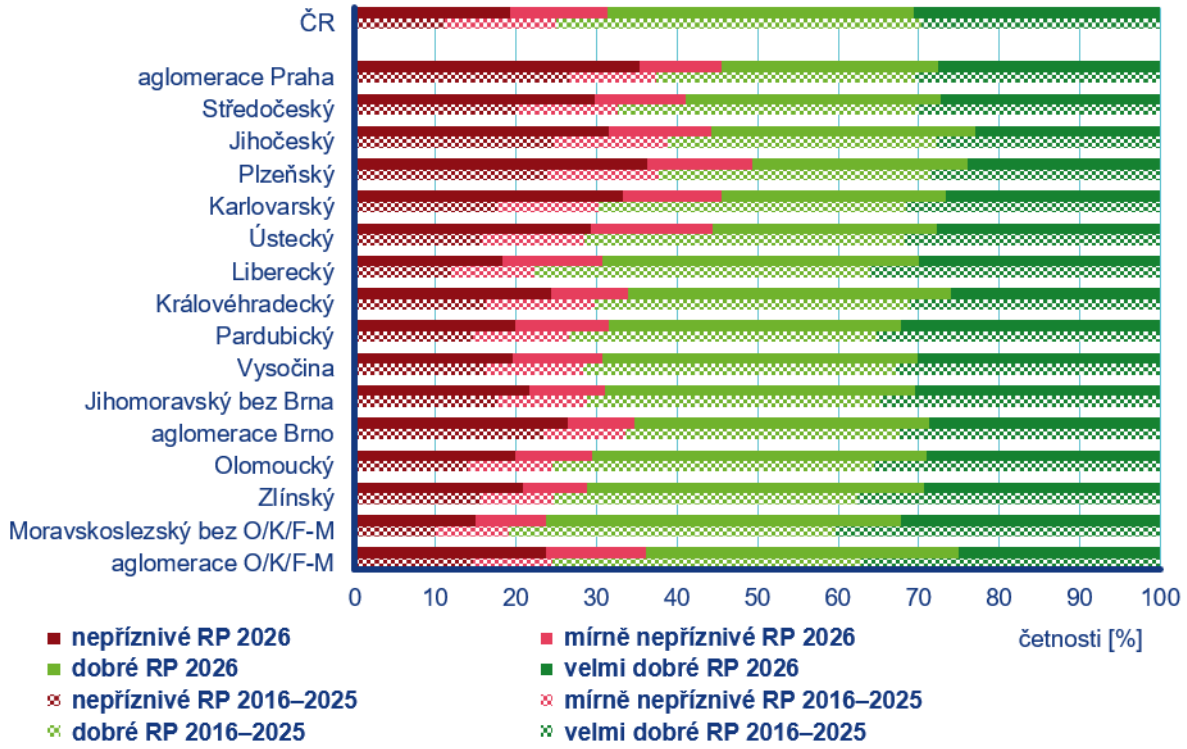
Povodí	Velký pokles	Pokles	Stagnace až mírný pokles	Stagnace až mírný vzestup	Vzestup	Velký vzestup
ČR	17	39	42	2	0	0

4 KVALITA OVZDUŠÍ

4.1 Rozptylové podmínky

V porovnání s 10letým průměrem 2016–2025 byly v říjnu zhoršené rozptylové podmínky (Obr. 3.2.1). Nejlepší říjnové rozptylové podmínky byly zaznamenány v roce 2023, naopak nejhorší v roce 2015. Velmi dobré rozptylové podmínky, vyjádřené pomocí ventilačního indexu[2] pro celou ČR, byly zaznamenány v devíti dnech, v porovnání s 10letým průměrem se jedná o zlepšení o 1 %. Dobré rozptylové podmínky byly zaznamenány ve 12 dnech, mírně nepříznivé ve čtyřech a nepříznivé v šesti dnech.

V říjnu byly v pěti regionech zaznamenány standardní rozptylové podmínky, stejně tak byly v pěti regionech zaznamenány rozptylové podmínky výrazně horší. Zhoršené rozptylové podmínky se vyskytovaly ve Středočeském, Královéhradeckém a Olomouckém kraji a v Moravskoslezském kraji bez aglomerace O/K/F-M[3]. Zhoršené rozptylové podmínky na hranici se standardními byly zaznamenány v Jihomoravském kraji bez Brna, výrazně horší rozptylové podmínky na hranici se zhoršenými pak v kraji Zlínském. Nejvíce velmi dobrých rozptylových podmínek (32 %) bylo zaznamenáno v Pardubickém kraji a v Moravskoslezském kraji bez aglomerace O/K/F-M, nejméně (23 %) v Jihočeském kraji. Nejvíce nepříznivých rozptylových podmínek (36 %) bylo zaznamenáno v Plzeňském kraji, nejméně (15 %) v Moravskoslezském kraji bez aglomerace O/K/F-M.



Obr. 3.2.1 Skladba rozptylových podmínek v regionech České republiky, říjen 2026

[2] https://www.chmi.cz/kvalita-ovzdusi/imise-informacni-system-hodnoceni-kvality-ovzdusi/podklady-pro-hodnoceni-ko/hodnoceni-ko-rozptylove-podminky

[3] Aglomerace Ostrava/Karviná/Frýdek-Místek.

4.2 Částice PM_{10}

Překročení 24hod. imisního limitu PM_{10} od počátku roku

Hodnota 24hod. imisního limitu PM_{10} je 50 $\mu g \cdot m^{-3}$. Legislativa připouští na měřicí stanici nejvíce 35 překročení hodnoty imisního limitu, při vyšším počtu je imisní limit považován za překročený.

Během října došlo k překročení hodnoty imisního limitu na deseti ze 118 stanic.

24hod. imisní limit PM_{10} nebyl do konce října překročen na žádné stanici AIM s dostatečným množstvím dat pro hodnocení (Obr. 3.2.2).

Měsíční chod denních koncentrací PM_{10}

Průměrné 24hod. koncentrace PM_{10} zprůměrované pro jednotlivé typy stanic nepřekračovaly během října hodnotu imisního limitu (50 $\mu g \cdot m^{-3}$) ani doporučenou hodnotu WHO[4] (45 $\mu g \cdot m^{-3}$; Obr. 3.2.3)[5].

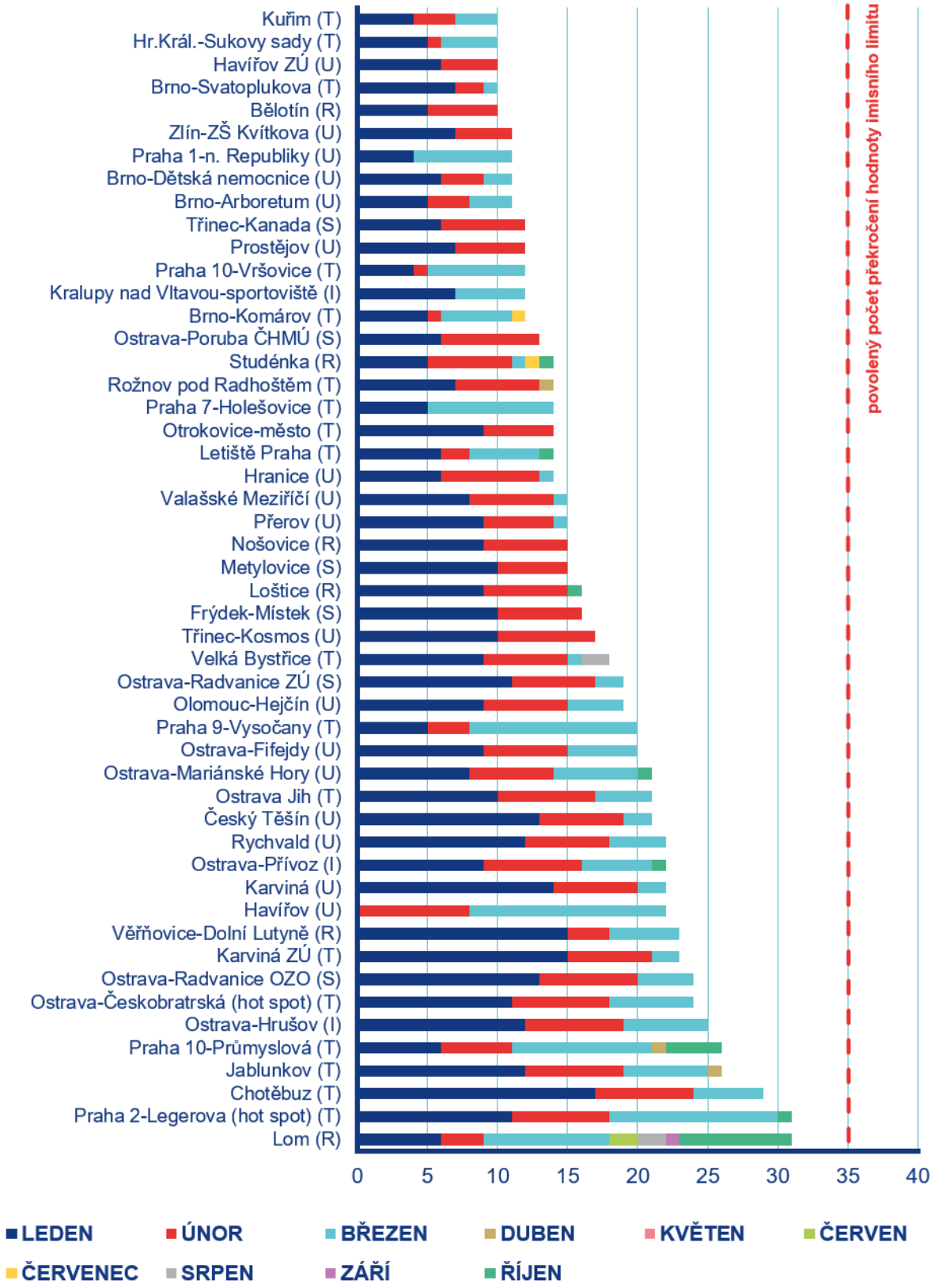
Vývoj denních koncentrací PM_{10} má obdobný průběh jako denní koncentrace $PM_{2,5}$. Důvodem je podobná skladba emisních zdrojů obou látek a také významná závislost na meteorologických a rozptylových podmínkách.

Průměrné měsíční koncentrace PM_{10}

Celorepublikový měsíční průměr koncentrací PM_{10} byl v říjnu pátý nejnižší za období 2016–2026 (Obr. 3.2.4). V porovnání s desetiletým průměrem (2016–2025) byly průměrné koncentrace PM_{10} o 4 % nižší.

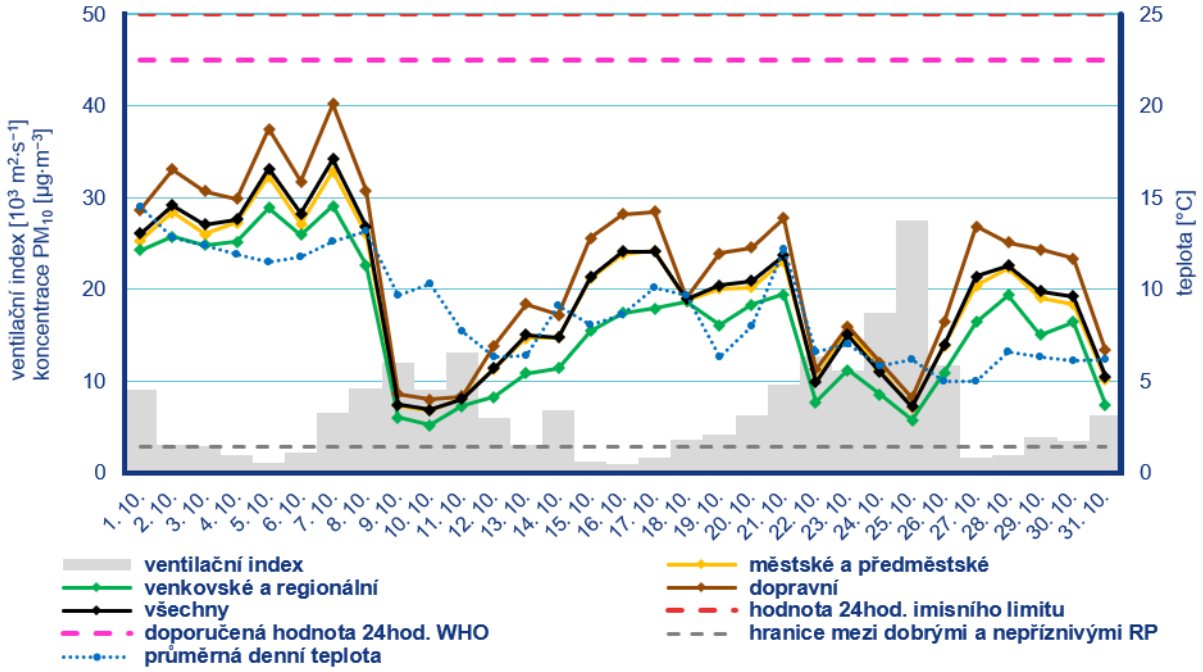
[4] https://iris.who.int/handle/10665/345329

[5] Průběh koncentrací je hodnocen pouze z meteorologického hlediska. Meteorologické a rozptylové podmínky jsou hlavním faktorem ovlivňujícím úrovně koncentrací. Mezi další faktory patří např. množství emisí či rozložení zdrojů emisí.



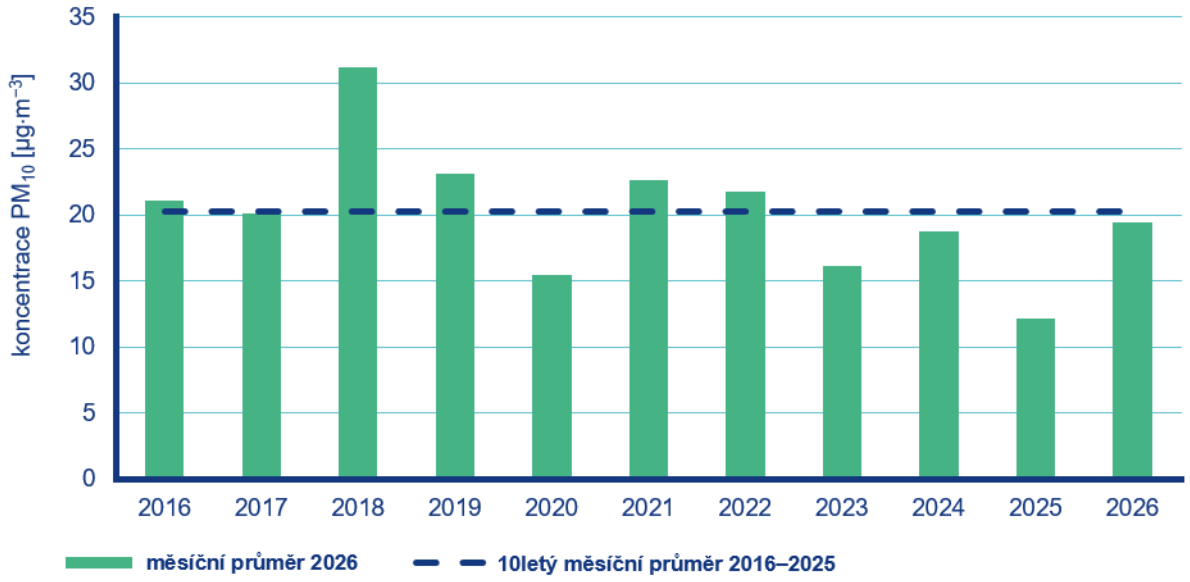
Poznámka: V grafu je uvedeno 50 nejhorších stanic bez ohledu na úplnost dat.

Obr. 3.2.2 Počet dnů, kdy průměrná denní koncentrace PM_{10} překročila hodnotu 24hod. imisního limitu (50 $\mu g \cdot m^{-3}$) na stanicích AIM, 2026



Poznámka: Průmyslové stanice jsou umístěny převážně v Moravskoslezském kraji; z tohoto důvodu nejsou průmyslové stanice uvedeny v grafu celorepublikových průměrů.

Obr. 3.2.3 Vývoj průměrných denních koncentrací PM_{10}, celorepublikového průměru teploty vzduchu a celorepublikového průměru ventilačního indexu (model ALADIN), říjen 2026



Obr. 3.2.4 Průměrné měsíční koncentrace PM_{10} v České republice, říjen 2016–2026

4.3 Částice $PM_{2,5}$

Vzhledem k závažnosti vlivu částic na lidské zdraví jsou v této zprávě hodnoceny i koncentrace částic $PM_{2,5}$. V české legislativě mají koncentrace částic $PM_{2,5}$ definován pouze roční imisní limit (20 $\mu g \cdot m^{-3}$), proto jsou v této zprávě krátkodobé koncentrace porovnávány vzhledem k doporučené hodnotě WHO pro ochranu lidského zdraví (15 $\mu g \cdot m^{-3}$, průměrná 24hodinová koncentrace).[6]

Překročení 24hod. doporučené hodnoty WHO pro $PM_{2,5}$

Doporučená hodnota WHO (15 $\mu g \cdot m^{-3}$) byla v říjnu překročena na 90 z 93 stanic (Obr. 3.2.5). Překročení doporučené hodnoty je vyjádřeno procentem dní, kdy byla na dané stanici průměrná denní koncentrace $PM_{2,5}$ vyšší než doporučená hodnota WHO.

Měsíční chod denních koncentrací $PM_{2,5}$

Průměrné denní koncentrace $PM_{2,5}$ zprůměrované pro jednotlivé typy stanic v říjnu překračovaly doporučenou hodnotu WHO (Obr. 3.2.6)[7].

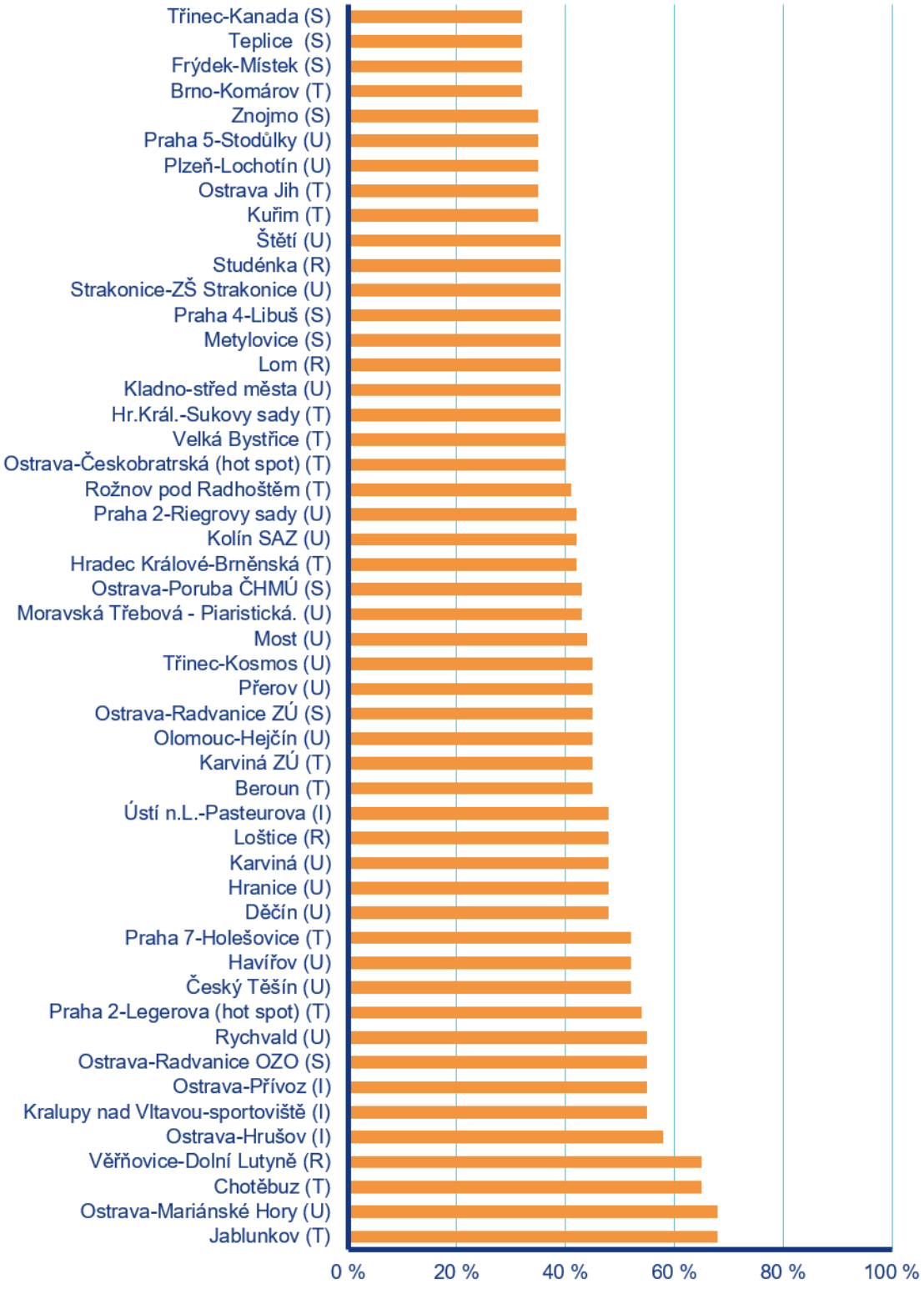
Na začátku října ovlivňovala počasí ve střední Evropě tlaková výše nad východní a jihovýchodní Evropou. Ve stabilním počasí a zhoršených rozptylových podmínkách překročily koncentrace $PM_{2,5}$ doporučenou hodnotou WHO, nad kterou se pohybovaly po většinu první dekády. Přechod studené fronty na konci dekády, provázené srážkami, pak vedl k výraznému poklesu koncentrací, které dosáhly nejnižších hodnot v měsíci. Během druhé říjnové dekády se přes střední Evropu přesouvala tlaková výše a v důsledku zhoršujících se rozptylových podmínek došlo k postupnému nárůstu koncentrací až nad doporučenou hodnotu WHO. V první polovině třetí dekády ovlivnil počasí u nás přechod frontálního systému spojený se zlepšením rozptylových podmínek a srážkovou činností. Koncentrace $PM_{2,5}$ proto poklesly na jedny z nejnižších hodnot v měsíci. Závěr měsíce byl ve znamení vlivu tlakové výše a zhoršování rozptylových podmínek, což vedlo k opětovnému nárůstu koncentrací a překročení doporučené hodnoty WHO.

Průměrné měsíční koncentrace $PM_{2,5}$

Celorepublikový měsíční průměr koncentrací $PM_{2,5}$ byl v říjnu druhý nejnižší za období 2016–2026 (Obr. 3.2.7). V porovnání s desetiletým průměrem (2016–2025) byly průměrné koncentrace $PM_{2,5}$ o 39 % nižší.

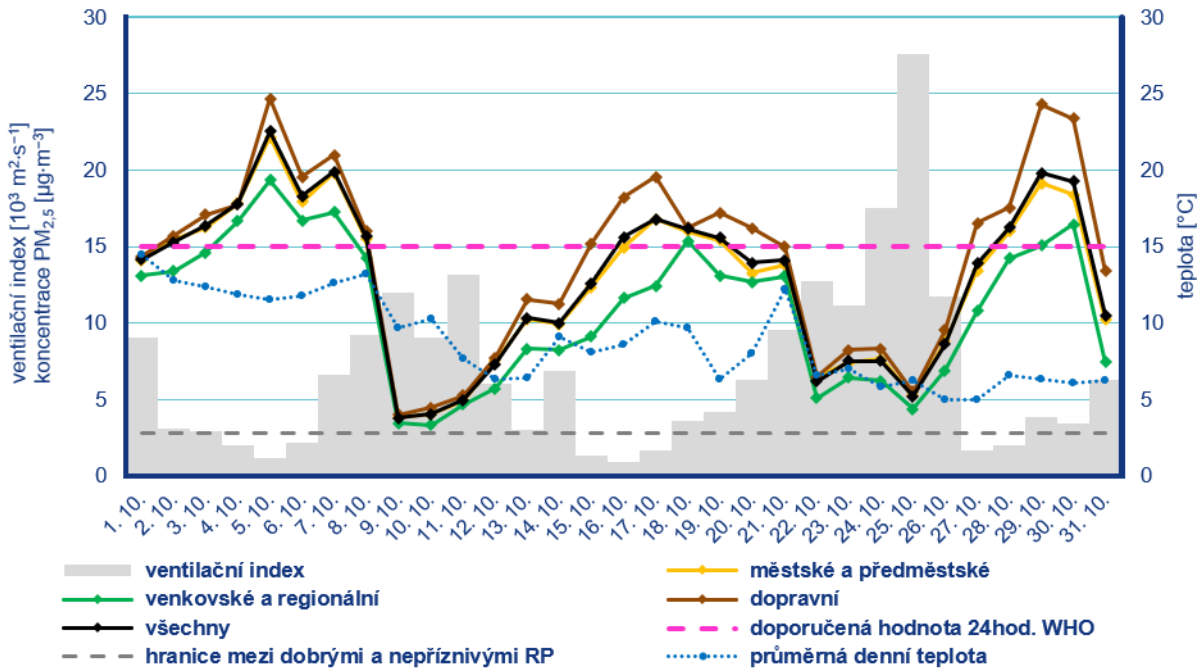
[6] https://iris.who.int/handle/10665/345329

[7] Průběh koncentrací je hodnocen pouze z meteorologického hlediska. Meteorologické a rozptylové podmínky jsou hlavním faktorem ovlivňujícím hodnoty koncentrací. Mezi další faktory patří např. množství emisí či rozložení zdrojů emisí.



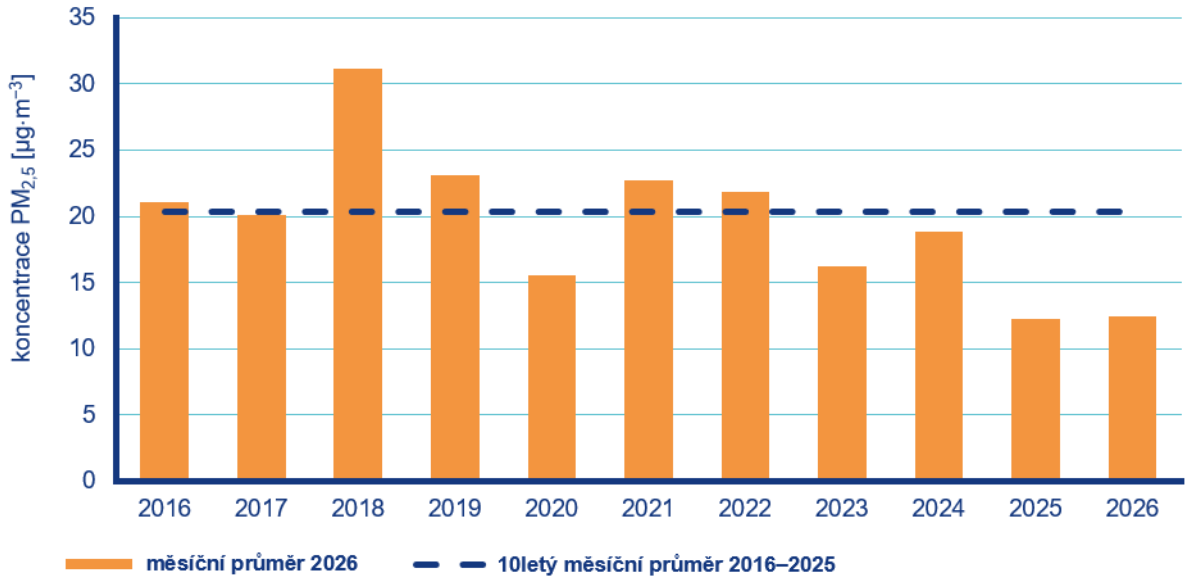
Poznámka: V grafu je uvedeno 50 nejhorších stanic bez ohledu na úplnost dat.

Obr. 3.2.5 Procento dní s překročením doporučené hodnoty WHO (15 µg·m^{-3}) pro průměrnou 24hodinovou koncentraci $PM_{2,5}$, říjen 2026



Poznámka: Průmyslové stanice jsou umístěny převážně v Moravskoslezském kraji; z tohoto důvodu nejsou průmyslové stanice uvedeny v grafu celorepublikových průměrů.

Obr. 3.2.6 Vývoj průměrných denních koncentrací $PM_{2,5}$, celorepublikového průměru teploty vzduchu a celorepublikového průměru ventilačního indexu (model ALADIN), říjen 2026



Obr. 3.2.7 Průměrné měsíční koncentrace $PM_{2,5}$ v České republice, říjen 2016–2026

4.4 Ostatní látky

Oxid dusičitý NO_2

Hodnota hodinového imisního limitu NO_2 je 200 $\mu g \cdot m^{-3}$. Legislativa připouští na měřicí stanici nejvíce 18 překročení hodnoty imisního limitu, při vyšším počtu je imisní limit považován za překročený. Vzhledem k závažnosti vlivu NO_2 na lidské zdraví jsou v této zprávě hodnoceny krátkodobé koncentrace nejen vzhledem k imisnímu limitu, ale i vzhledem k doporučené hodnotě WHO pro ochranu lidského zdraví (25 $\mu g \cdot m^{-3}$, průměrná 24hodinová koncentrace).[8]

Hodnota hodinového imisního limitu pro NO_2 nebyla v říjnu překročena na žádné z 91 stanic.

Doporučená hodnota WHO byla v říjnu překročena na 47 stanicích z 91 (Obr. 3.2.8). Překročení doporučené hodnoty je vyjádřeno procentem dní, kdy byla na dané stanici průměrná denní koncentrace NO_2 vyšší než doporučená hodnota WHO.

Celorepublikový měsíční průměr koncentrací NO_2 byl v říjnu pátý nejnižší za období 2016–2026. V porovnání s desetiletým průměrem (2016–2025) byly průměrné koncentrace NO_2 o 8 % nižší.

Oxid siřičitý SO_2

Hodnota hodinového imisního limitu SO_2 je 350 $\mu g \cdot m^{-3}$, hodnota 24hod. imisního limitu je 125 $\mu g \cdot m^{-3}$. Legislativa připouští na měřicí stanici nejvíce 24, resp. 3 překročení hodnoty imisního limitu, při vyšším počtu je imisní limit považován za překročený.

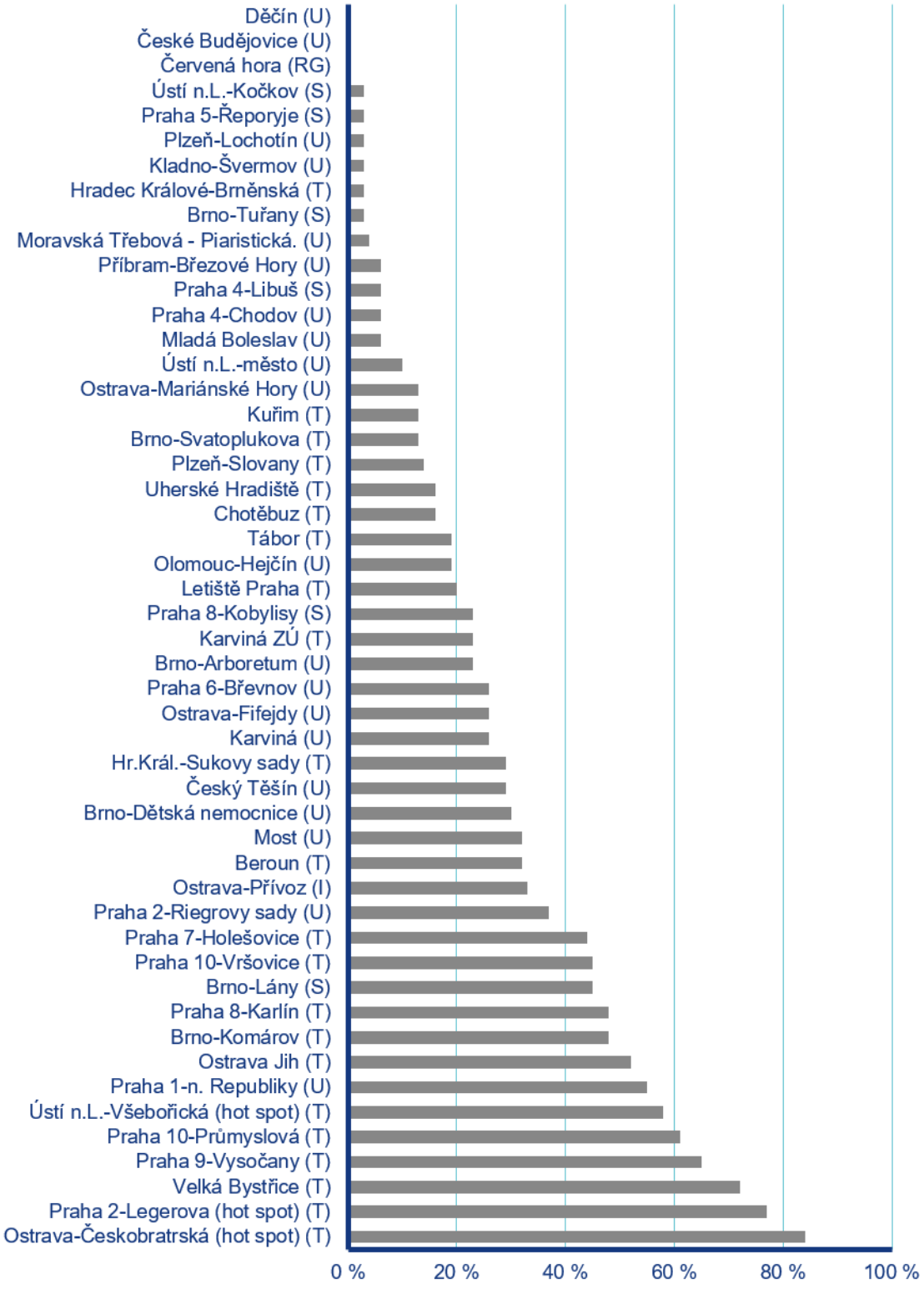
Hodnoty hodinového ani 24hod. imisního limitu pro SO_2 nebyly v říjnu překročeny na žádné ze 48 stanic.

Celorepublikový měsíční průměr koncentrací SO_2 byl v říjnu třetí nejnižší za období 2016–2026. V porovnání s desetiletým průměrem (2016–2025) byly průměrné koncentrace SO_2 o 17 % nižší.

Oxid uhelnatý CO

Denní maximum 8hodinových koncentrací oxidu uhelnatého (CO) nepřekročily v říjnu 2026 hodnotu svého imisního limitu.

[8] https://iris.who.int/handle/10665/345329



Poznámka: V grafu je uvedeno 50 nejhorších stanic bez ohledu na úplnost dat.

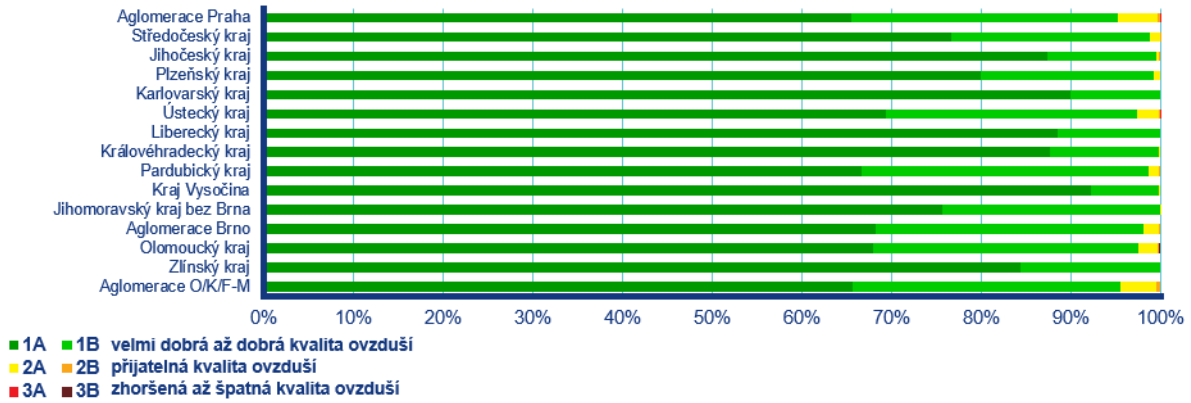
Obr. 3.2.8 Procento dní s překročením doporučené hodnoty WHO (25 µg·m^{-3}) pro průměrnou 24hodinovou koncentraci NO_2, říjen 2026

4.5 Index kvality ovzduší

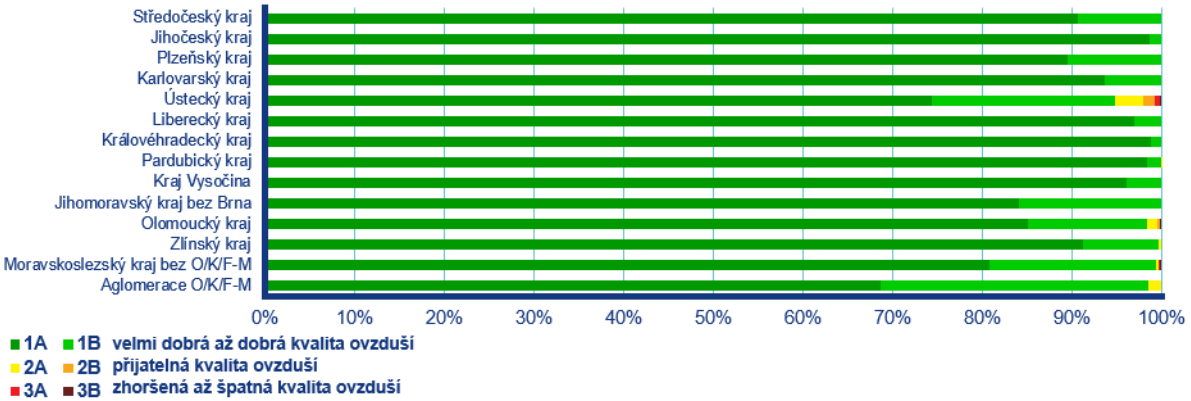
Během října byla na měřicích stanicích převážně dobrá až velmi dobrá kvalita ovzduší[9].

Na městských a předměstských stanicích se pouze velmi dobrá až dobrá kvalita ovzduší vyskytovala ve Zlínském, Libereckém a Karlovarském kraji (100 %), naopak nejméně často v Aglomeraci Praha (95 %; Obr. 3.2.9). Zhoršená až špatná kvalita ovzduší se vyskytovala v Olomouckém a Ústeckém kraji a v aglomeraci Praha (méně než 1 %).

Na venkovských stanicích[10] se pouze velmi dobrá až dobrá kvalita ovzduší vyskytovala ve Středočeském, Jihočeském, Plzeňském, Karlovarském, Libereckém a Královéhradeckém kraji, v Kraji Vysočina a v Jihomoravském kraji bez Brna (100 %), naopak nejméně často v Ústeckém kraji (95 %; Obr. 3.2.10). Zhoršená až špatná kvalita ovzduší se vyskytovala v Ústeckém a Olomouckém kraji a v Moravskoslezském kraji bez aglomerace O/K/F-M (méně než 1 %).



Obr. 3.2.9 Index kvality ovzduší – městské a předměstské pozaďové stanice, říjen 2026



Obr. 3.2.10 Index kvality ovzduší – venkovské pozaďové stanice, říjen 2026

[9] https://www.chmi.cz/namerena-data/data-z-mericich-stanic/tabulka-kvality-ovzdusi

[10] Pro venkovské stanice není ve všech krajích a aglomeracích k dispozici dostatek dat pro hodnocení.

4.6 Smogový a varovný regulační systém

Prahové hodnoty PM_{10} pro vyhlášení smogové situace byly překročeny na dvou lokalitách SVRS, nebyly však splněny další zákonné podmínky pro vyhlášení smogové situace a k vyhlášení tedy nedošlo.

Prahové hodnoty NO_2, SO_2 a O_3 pro vyhlášení smogové situace či regulace/varování nebyly překročeny na žádné lokalitě SVRS.

Český hydrometeorologický ústav

Kontakty

Mgr. Josef Hanzlík, e-mail: josef.hanzlik@chmi.cz
vedoucí oddělení Operativní služby
tel.: 244 032 761

RNDr. Lenka Crhová, Ph.D., e-mail: lenka.crhova@chmi.cz
vedoucí oddělení Všeobecné klimatologie
tel.: 244 032 250

RNDr. Radek Čekal, Ph.D., e-mail: radek.cekal@chmi.cz
vedoucí oddělení Hydrologických předpovědí
tel.: 244 032 356

doc. Dr. Ing. Martin Možný, e-mail: martin.mozny@chmi.cz
vedoucí oddělení Biometeorologických aplikací
tel.: 244 032 206

Ing. Václav Novák, e-mail: vaclav.novak@chmi.cz
vedoucí oddělení Informační systém kvality ovzduší (hodnocení kvality ovzduší)
tel.: 244 032 402

Mgr. Ondřej Vlček, e-mail: ondrej.vlcek@chmi.cz
vedoucí oddělení Modelování a expertíz (SVRS)
tel.: 244 032 488

Ing. Martin Zrzavecký, e-mail: martin.zrzavecky@chmi.cz
vedoucí oddělení Podzemních vod (OPZV)
tel.: 244 032 541

Hana Stehlíková, DiS.
vedoucí oddělení Tiskové a informační
e-mail: info@chmi.cz
tel.: 244 032 722
www.chmi.cz